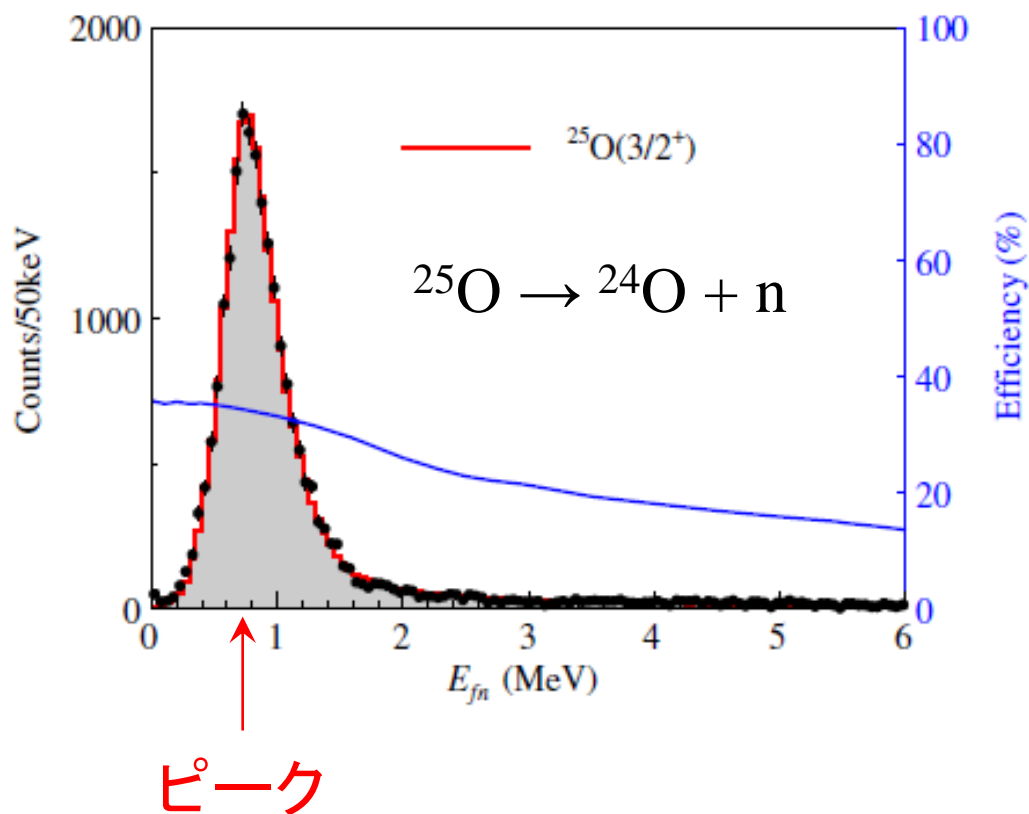


非束縛核の物理

22O	23O	24O	25O	26O
-----	-----	-----	-----	-----

$^{26}_9\text{F}_{17}$ から1つ陽子を抜いて $^{25}_8\text{O}_{17}$ を生成 → 1中性子を放出して崩壊



$1d_{3/2}$

$2s_{1/2}$

$1d_{5/2}$

$1p_{1/2}$

$1p_{3/2}$

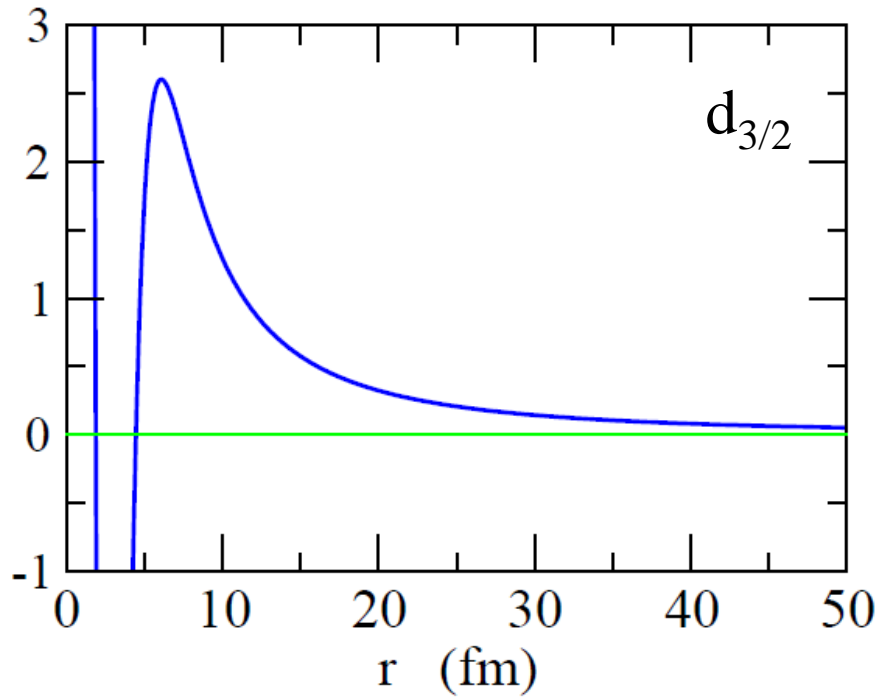
$1s_{1/2}$

中性子
1粒子状態

Y. Kondo et al., PRL116 ('16) 102503

$1d_{3/2}$ の「準束縛」状態と解釈することができる

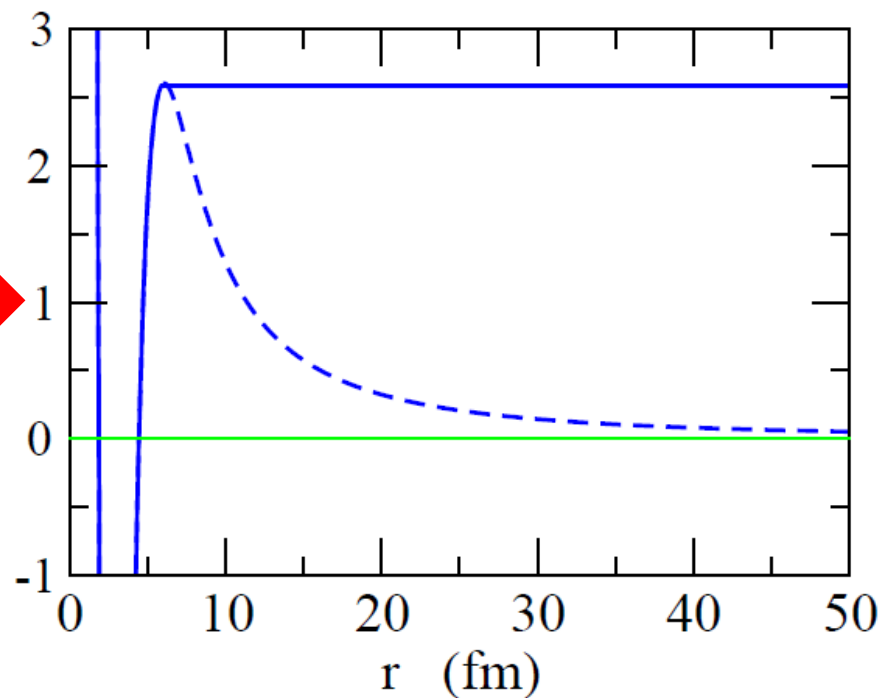
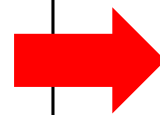
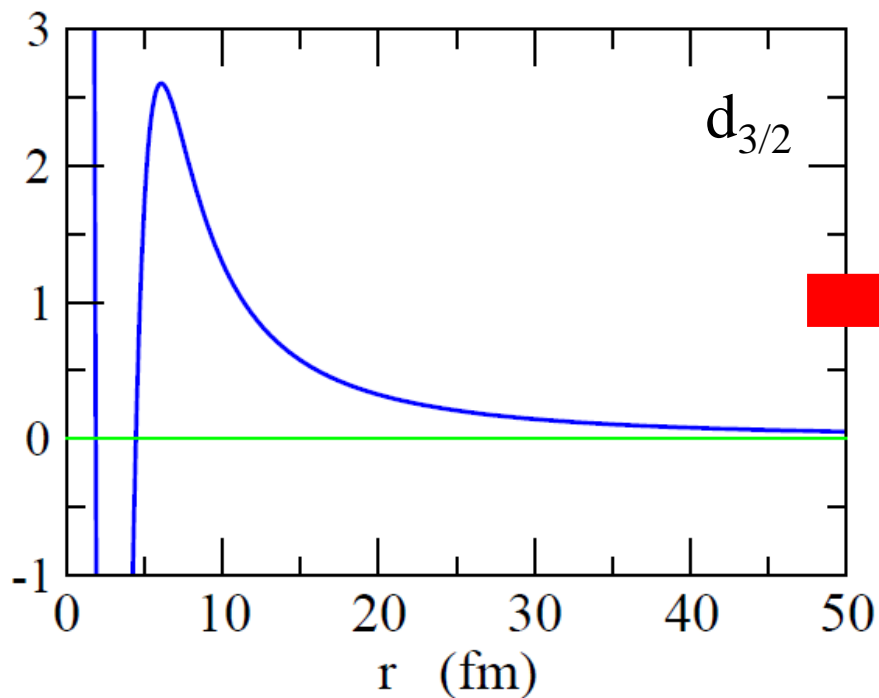
準束縛状態とは?



実際のポテンシャル

束縛状態は $E < 0$ の領域のみ

準束縛状態とは?



実際のポテンシャル

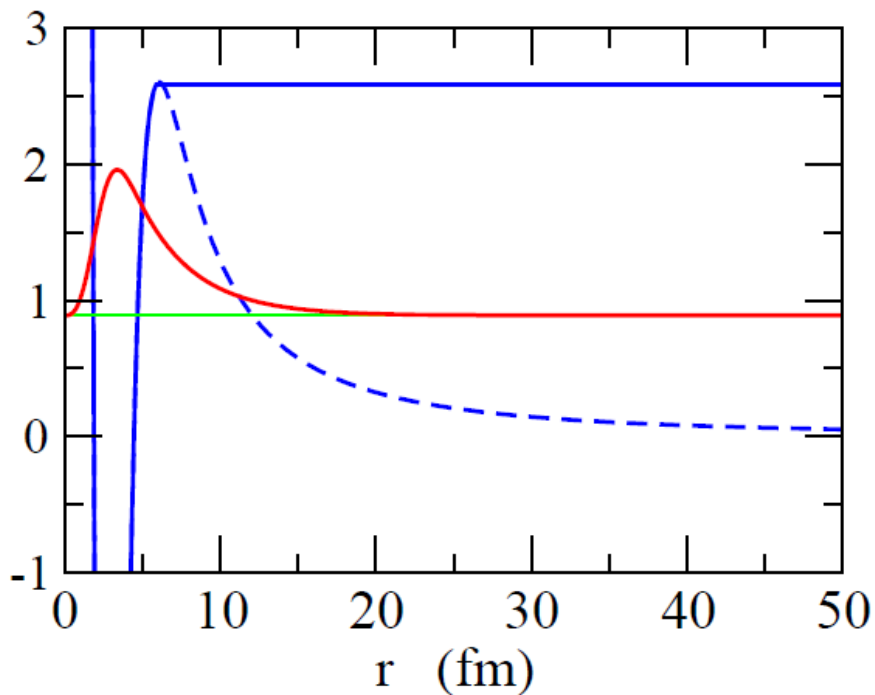
束縛状態は $E < 0$ の領域のみ

このようにポテンシャルを
変更すると

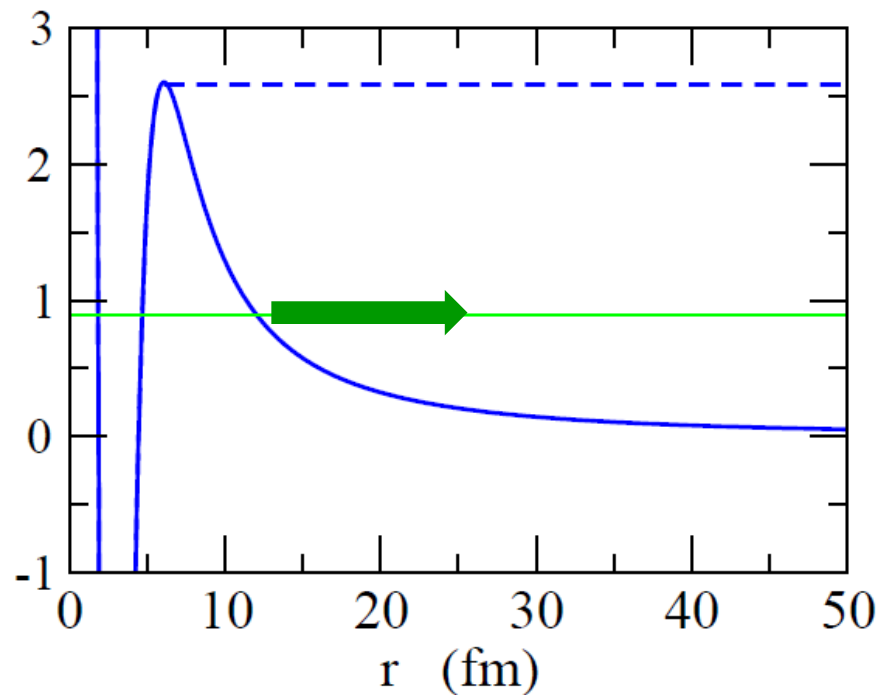
→ $E > 0$ でも束縛状態が
できる

= 準束縛(準安定)状態

準束縛状態とは?



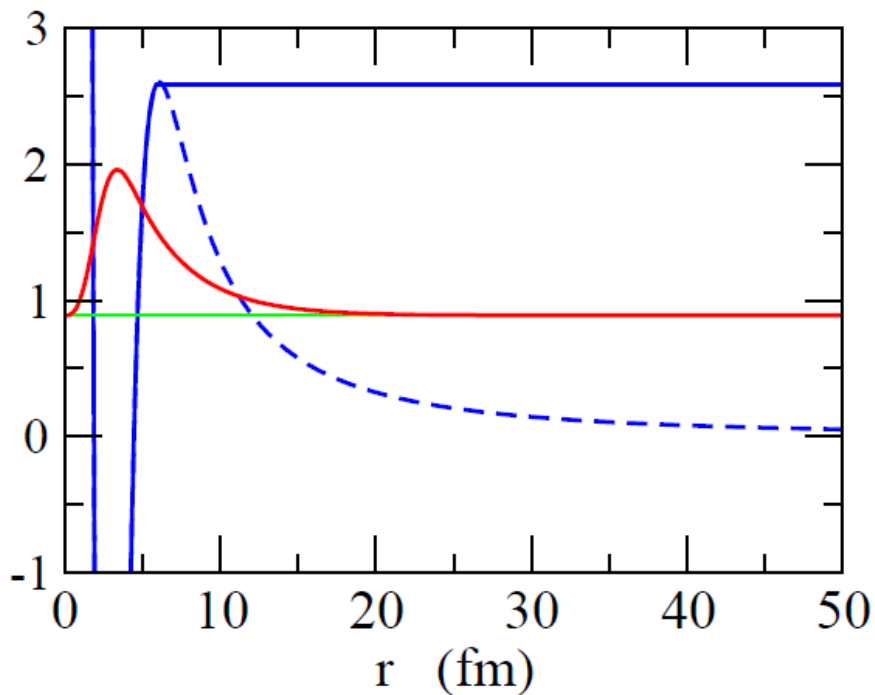
束縛状態 = 無限の寿命



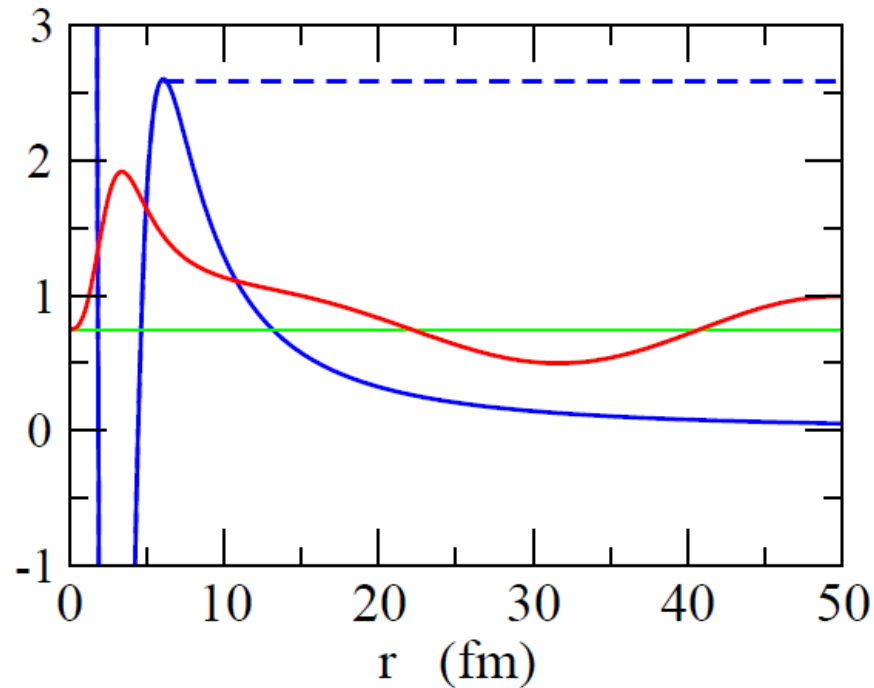
実際には有限の寿命で
障壁をトンネルし崩壊

「準束縛(準安定)状態」

準束縛状態とは?



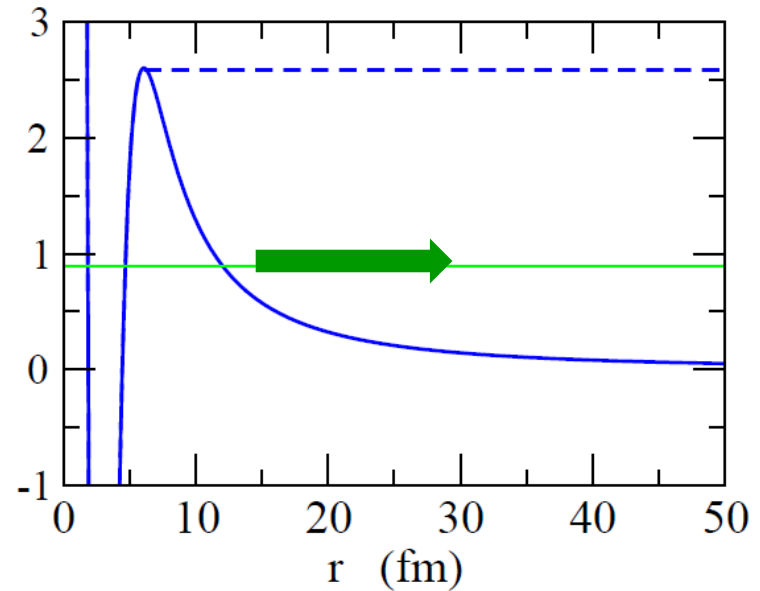
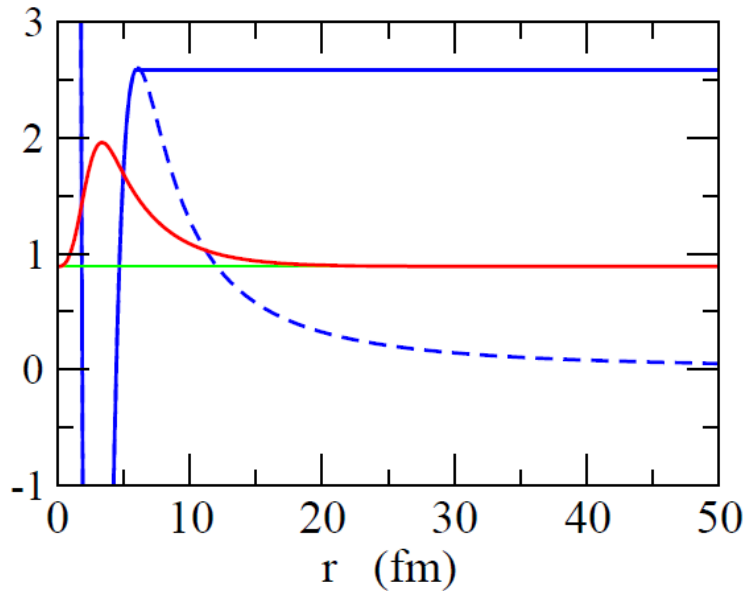
束縛状態 = 無限の寿命



実際には有限の寿命で
障壁をトンネルし崩壊

「準束縛(準安定)状態」

ガモフ状態



トンネル効果で波動関数が
 沁み出し、**外向きの波として崩壊**

$$\begin{aligned}
 u(r) &\sim r^{l+1} && (r \rightarrow 0) \\
 &\rightarrow \mathcal{N} e^{i(kr - l\pi/2)} && (r \rightarrow \infty)
 \end{aligned}$$

共鳴幅



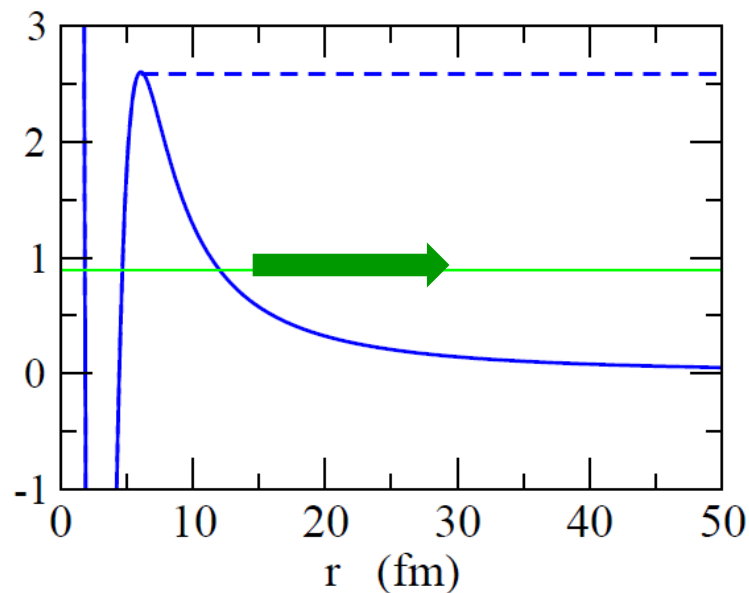
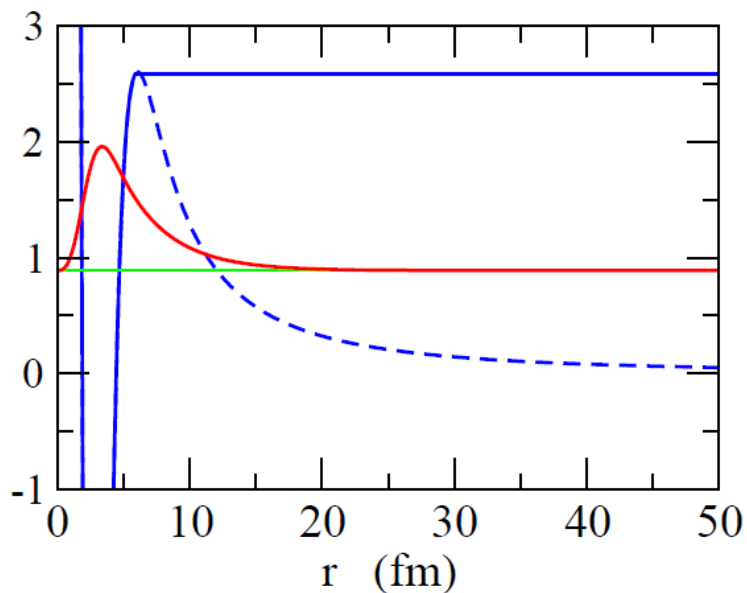
$$E \rightarrow E_R - i \frac{\Gamma}{2}$$



共鳴エネルギー

⇒ エネルギーを複素数にしなければならない:

ガモフ状態



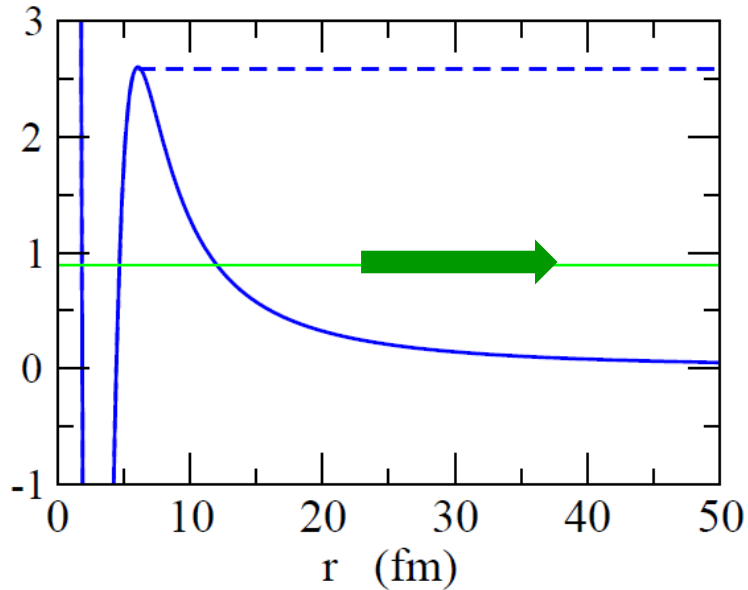
トンネル効果で波動関数が
 沁み出し、**外向きの波として崩壊**

$$E \rightarrow E_R - i\frac{\Gamma}{2}$$

$$\begin{aligned}
 P_{\text{sur}}(t) &\equiv |\langle \psi(0) | \psi(t) \rangle|^2 \\
 &= |\langle \psi(0) | e^{-iHt/\hbar} | \psi(0) \rangle|^2 \\
 &= |\langle \psi(0) | e^{-i(E_R - i\Gamma/2)t/\hbar} | \psi(0) \rangle|^2 \\
 &= e^{-\Gamma t/\hbar} \quad \longrightarrow \quad \boxed{\hbar/\Gamma \text{ が準安定状態の寿命}}
 \end{aligned}$$

ガモフ状態と散乱状態の関係

ガモフ状態

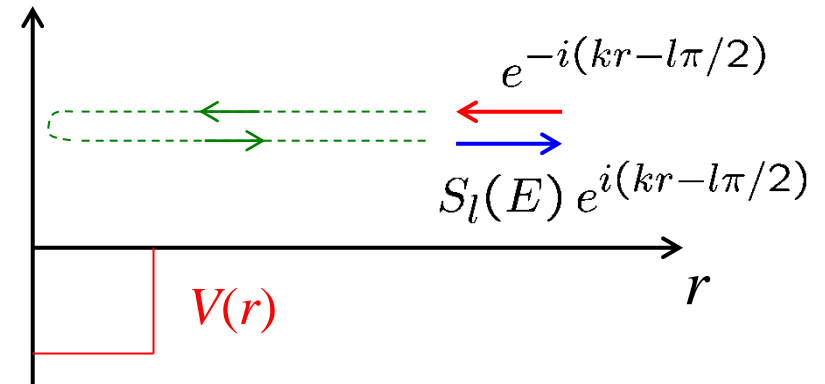


外向波境界条件

$$u_l(r) \rightarrow \mathcal{N} e^{i(kr-l\pi/2)}$$

$$E \rightarrow E_R - i\frac{\Gamma}{2}$$

散乱状態



散乱の境界条件

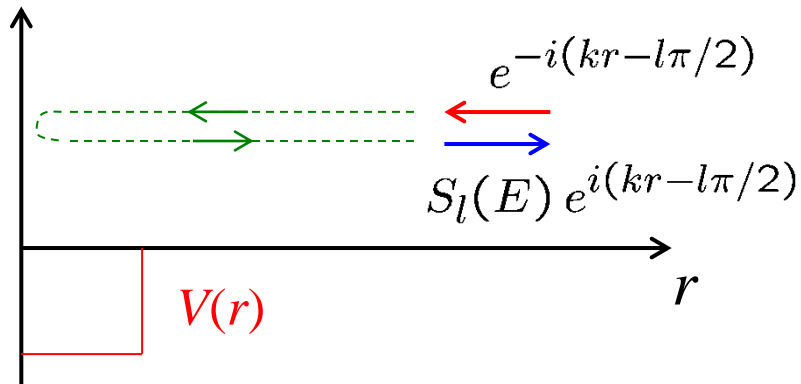
$$u_l(r) \rightarrow \mathcal{N} \left(e^{-i(kr-l\pi/2)} - S_l(E) e^{i(kr-l\pi/2)} \right)$$

$$S_l(E) = e^{2i\delta_l(E)}$$

E : real

ガモフ状態と散乱状態の関係

散乱状態



散乱の境界条件

$$u_l(r) \rightarrow \mathcal{N} \left(e^{-i(kr-l\pi/2)} - S_l(E) e^{i(kr-l\pi/2)} \right)$$

$$S_l(E) = e^{2i\delta_l(E)}$$

E : real

もし、 $S_l(E)$ が発散するような E があれば、

$$u_l(r) \sim \tilde{\mathcal{N}} e^{i(kr-l\pi/2)} \quad (\text{外向波})$$

ただし、エネルギー E を複素平面へ解析接続しなければならない:

$$E \rightarrow E_R - i\frac{\Gamma}{2}$$

➡ ガモフ状態 \longleftrightarrow S 行列の極 (ポール)

Breit-Wigner の公式

S-行列が $\epsilon = E_R - i\frac{\Gamma}{2}$ で極を持つとすると、

$$S(E) = e^{2i\delta_0(E)} \cdot \frac{E - \epsilon^*}{E - \epsilon} \quad \leftarrow |S(E)| = 1$$

$\delta_0(E)$ は E のゆるやかな関数 (background phase shift)

このとき、

$$\begin{aligned} S(E) &= e^{2i\delta_0(E)} \cdot \frac{E - E_R - i\Gamma/2}{E - E_R + i\Gamma/2} \\ &= e^{2i\delta_0(E)} \left(1 - \frac{i\Gamma}{E - E_R + i\Gamma/2} \right) \end{aligned}$$

Breit-Wigner の公式

S-行列が $\epsilon = E_R - i\frac{\Gamma}{2}$ で極を持つとすると、

$$S(E) = e^{2i\delta_0(E)} \cdot \frac{E - \epsilon^*}{E - \epsilon} \quad \leftarrow |S(E)| = 1$$

$\delta_0(E)$ は E のゆるやかな関数 (background phase shift)

$E - \epsilon^* = c e^{i\delta_r(E)}$ とすると、

$$S(E) = e^{2i\delta_0(E)} \cdot \frac{c e^{i\delta_r(E)}}{c e^{-i\delta_r(E)}} = e^{2i\delta_0(E)} e^{2i\delta_r(E)}$$

$$E - \epsilon^* = E - E_R - i\Gamma/2 = c e^{i\delta_r} = c(\cos \delta_r + i \sin \delta_r)$$

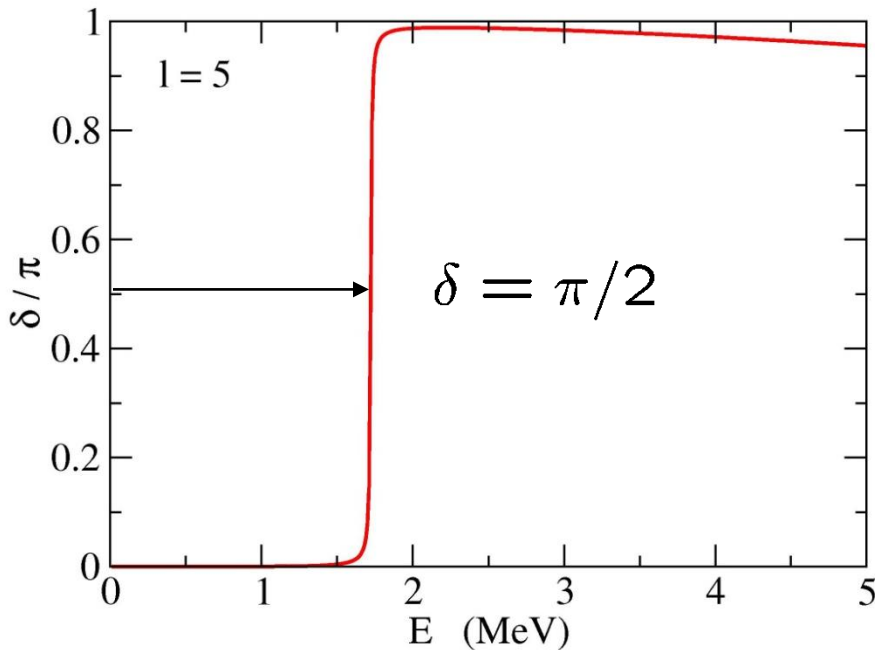
$$\rightarrow \tan \delta_r = \frac{\sin \delta_r}{\cos \delta_r} = \frac{-\Gamma/2}{E - E_R}$$



$$\delta(E) = \delta_r(E) + \delta_0(E) = \tan^{-1} \left(\frac{\Gamma}{2(E_R - E)} \right) + \delta_0(E)$$

Breit-Wigner の公式

幅が狭ければ、位相のずれが $\pi/2$ を切る時に共鳴



Breit-Wigner formula:

$$\delta(E) = \tan^{-1} \frac{\Gamma}{2(E_R - E)} + \delta_0(E)$$

$$\Rightarrow \delta(E_R) \sim \pi/2$$

$$\Gamma = \frac{2}{\delta'(E_R)}$$

$$V_0 = -50 \text{ MeV}$$

$$R_0 = 1.27 * 200^{1/3} \text{ fm}$$

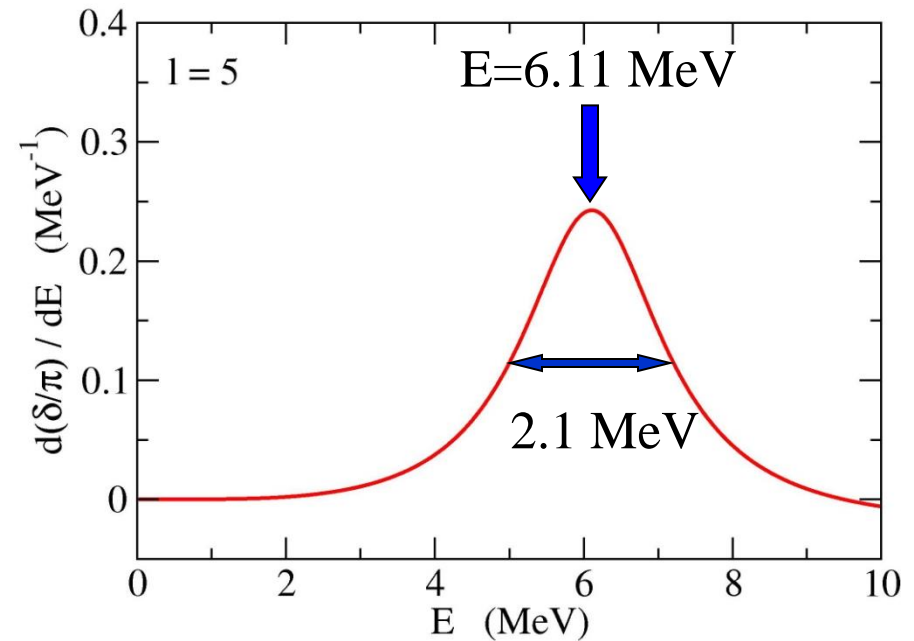
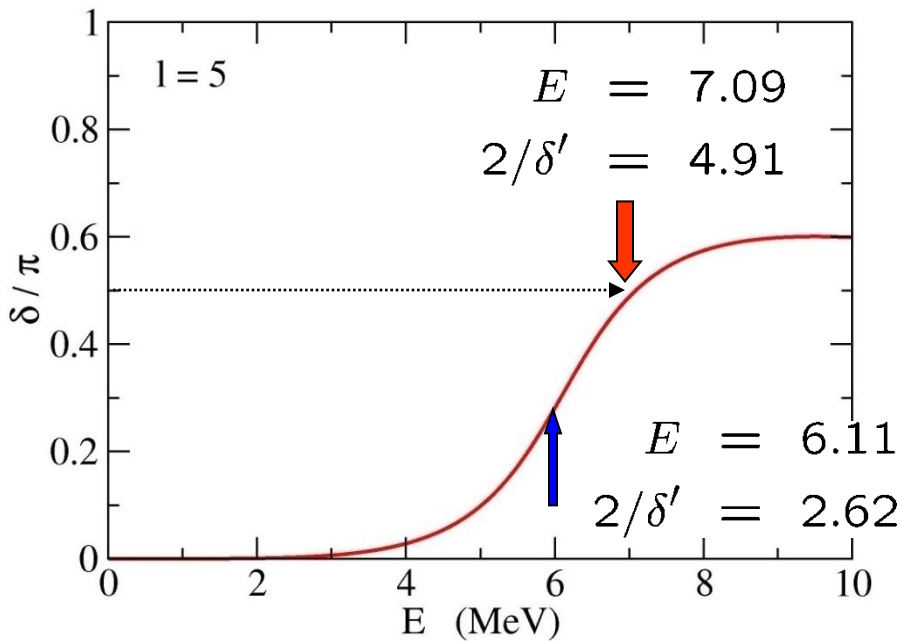
$$a = 0.67 \text{ fm}$$

$$\mu = 200 m_N / 201$$

(note) ただし、幅が広いと $\pi/2$ とは限らない

$$\delta(E) = \tan^{-1} \frac{\Gamma}{2(E_R - E)} + \delta_0(E)$$

background phase shift



Gamow state: $E = 6.01$ MeV
 $\Gamma = 2.22$ MeV

レポート問題7(×切:12月4日(土))

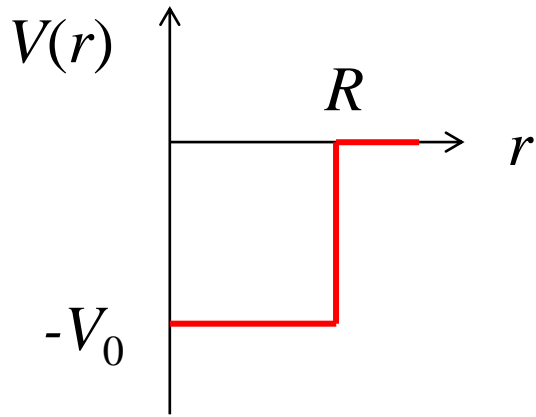
$$\delta_l(E) \sim \delta_r(E) = \tan^{-1} \left(\frac{\Gamma}{2(E_R - E)} \right)$$

で与えられるとき、この角運動量に対する全散乱断面積

$$\sigma_l(E) = \frac{4\pi}{k^2} (2l + 1) \sin^2 \delta_l(E)$$

を求めよ。

レポート問題8(×切:12月4日(土))



左の図のような井戸型ポテンシャルを考える。このとき、角運動量 l に対する動径波動関数は球ベッセル関数、球ハンケル関数を用いて以下のようなになる。

$$R_l(r) = \begin{cases} j_l(\tilde{k}r) & (r < R) \\ A(h_l^{(-)}(kr) - S_l h_l^{(+)}(kr)) & (r \geq R) \end{cases}$$

$$k = \sqrt{2mE/\hbar^2}, \quad \tilde{k} = \sqrt{2m(E + V_0)/\hbar^2}$$

$r=R$ における波動関数の接続条件により S 行列が解析的に求まる:

$$S_l(E) = \frac{L_l(E) - \tilde{S}_l(E) + iP_l(E)}{L_l(E) - \tilde{S}_l(E) - iP_l(E)} e^{2i\phi_l}$$

ここで、 $F_l(r) \equiv kr j_l(kr)$, $G_l(r) \equiv -kr n_l(kr)$, $R_l(r) = \frac{u_l(r)}{r}$

$$F'_l(r) \equiv R \frac{dF_l}{dr}, \quad G'_l(r) \equiv R \frac{dG_l}{dr}$$

$$L_l \equiv R \left(\frac{d}{dr} u_l(r) \right)_{r=R} \frac{1}{u_l(R)}$$

$$P_l = \frac{kR}{G_l(R)^2 + F_l(R)^2}$$

$$\tilde{S}_l = \frac{G_l(R)G'_l(R) + F_l(R)F'_l(R)}{G_l(R)^2 + F_l(R)^2}$$

$$e^{2i\phi_l} = \frac{G_l(R) - iF_l(R)}{G_l(R) + iF_l(R)}$$

である。

レポート問題8(×切:12月4日(土)) * 続き

$$S_l(E) = \frac{L_l(E) - \tilde{S}_l(E) + iP_l(E)}{L_l(E) - \tilde{S}_l(E) - iP_l(E)} e^{2i\phi_l}$$

あるエネルギー E_r で $L_l(E_r) - \tilde{S}_l(E_r) = 0$ になったとする。

このとき、

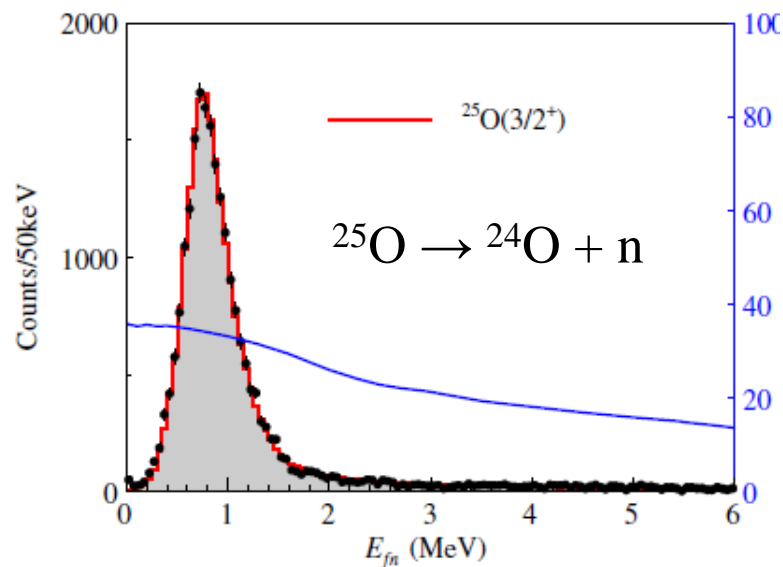
$$L_l(E) - \tilde{S}_l(E) \sim L_l(E_r) - \tilde{S}_l(E_r) - \frac{1}{\gamma_l^2}(E - E_r) = -\frac{1}{\gamma_l^2}(E - E_r)$$

と展開し、 $P_l(E) \sim P_l(E_r)$ と置くことによって S-行列に対する Breit-Wigner の式

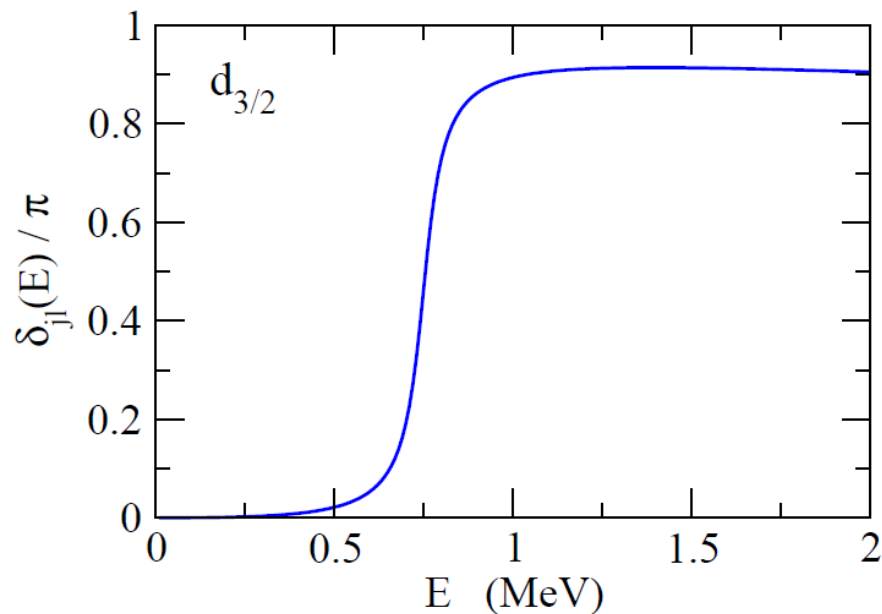
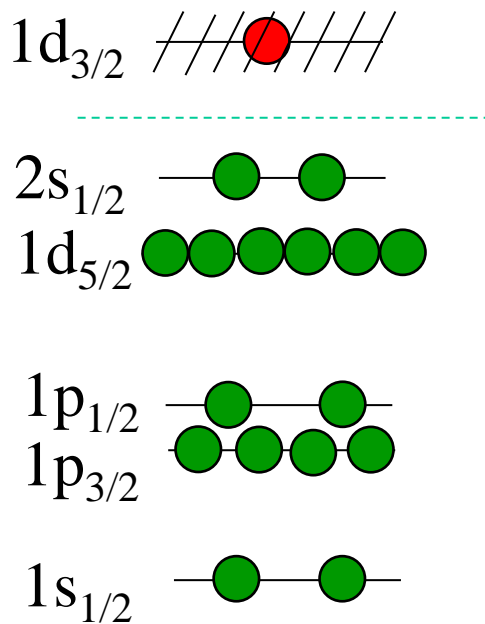
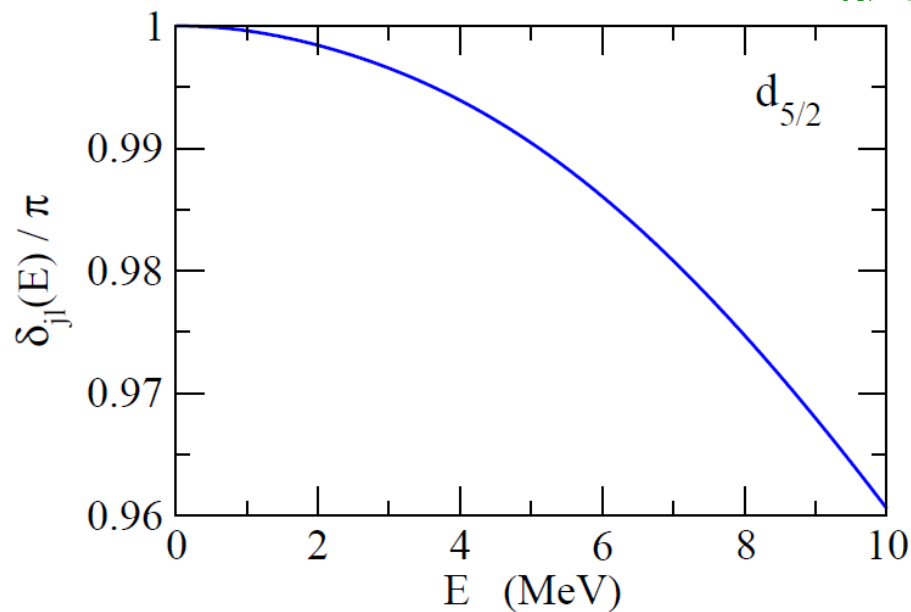
$$S_l(E) = \left(1 - \frac{i\Gamma_l}{E - E_r + i\frac{\Gamma_l}{2}} \right) e^{2i\phi_l}$$

を導け。また、共鳴幅 Γ_l が γ_l と $P_l(E_r)$ を用いてどのように表されるか述べよ。

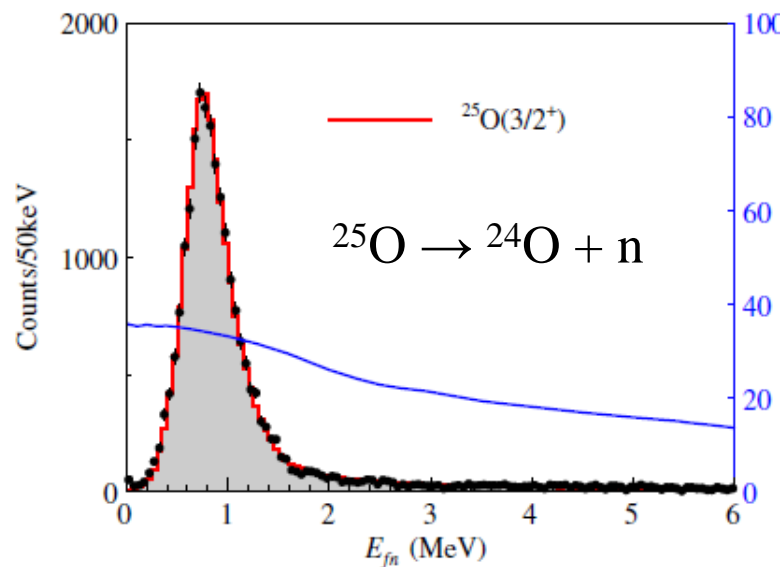
共鳴があると位相のずれはどう振る舞う?



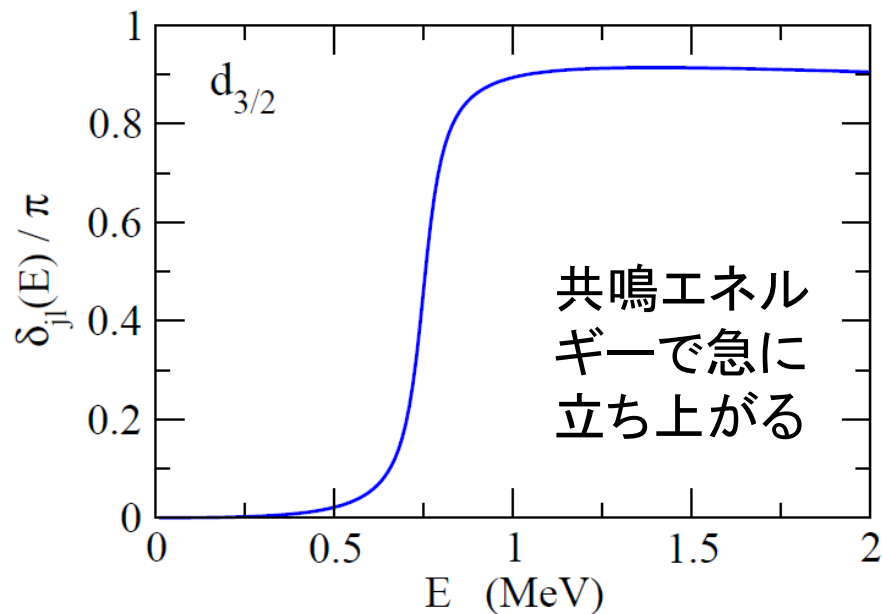
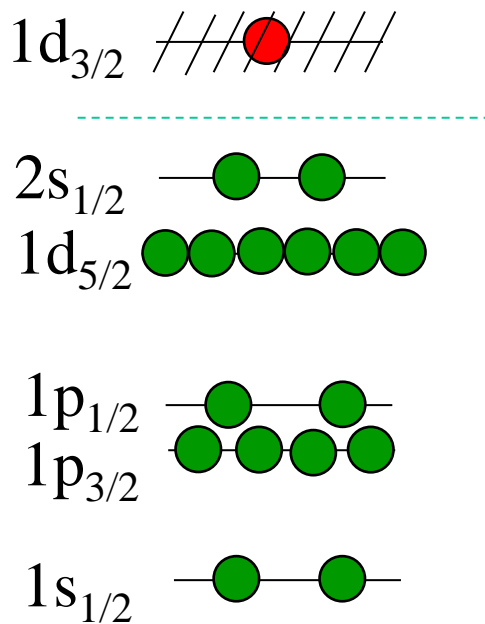
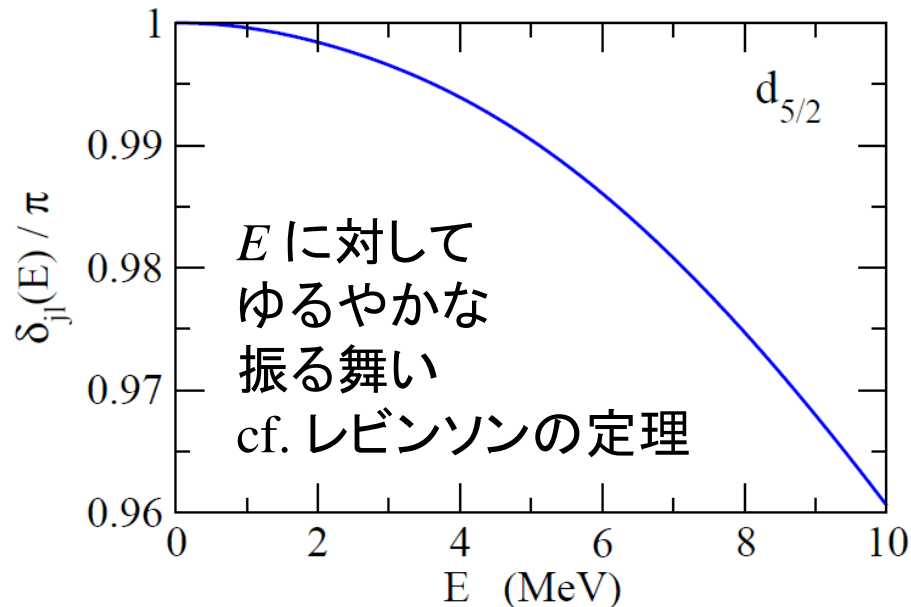
WS ポテンシャルによる n- ^{24}O 散乱



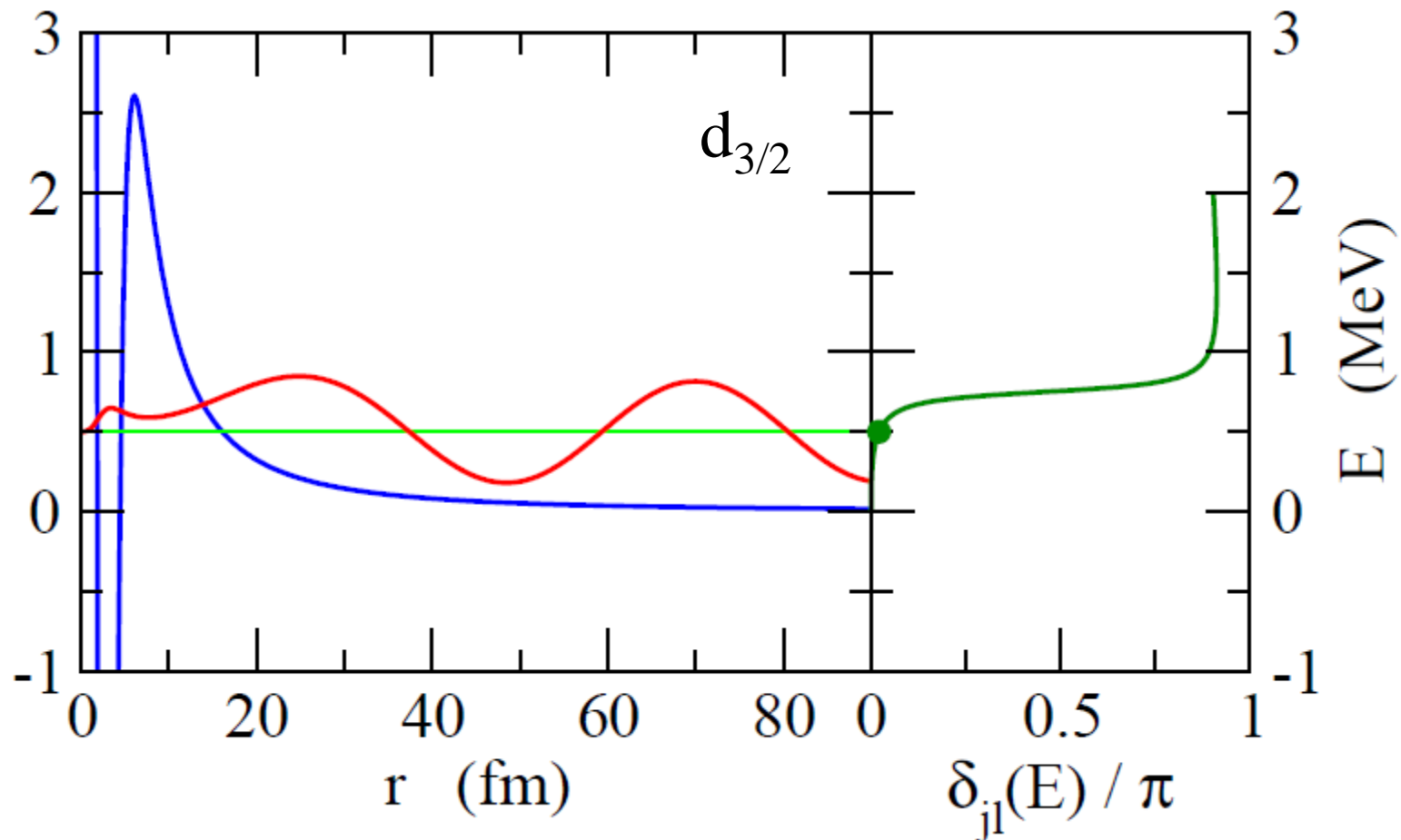
共鳴があると位相のずれはどう振る舞う?



WS ポテンシャルによる n- ^{24}O 散乱

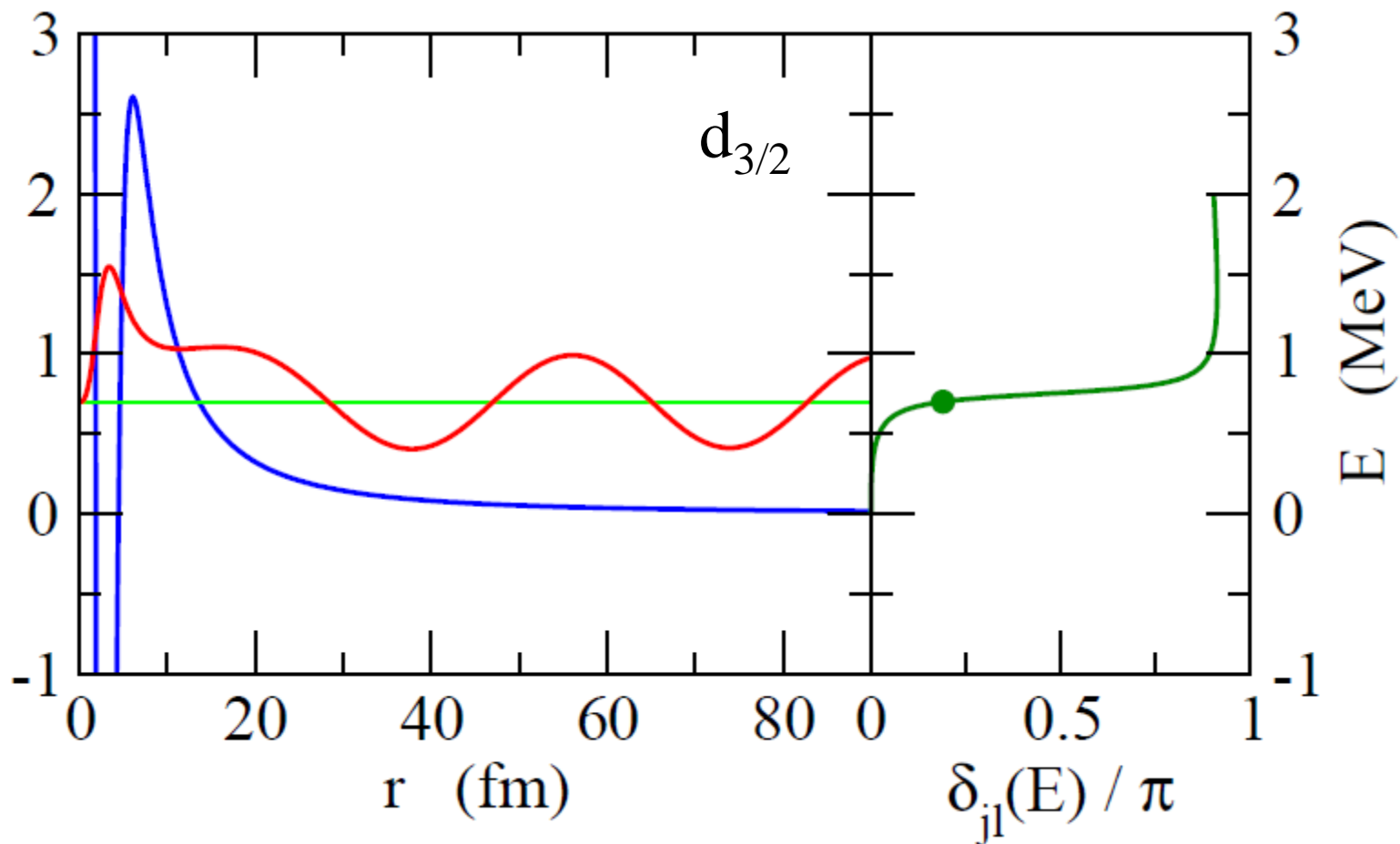


それでは波動関数は?



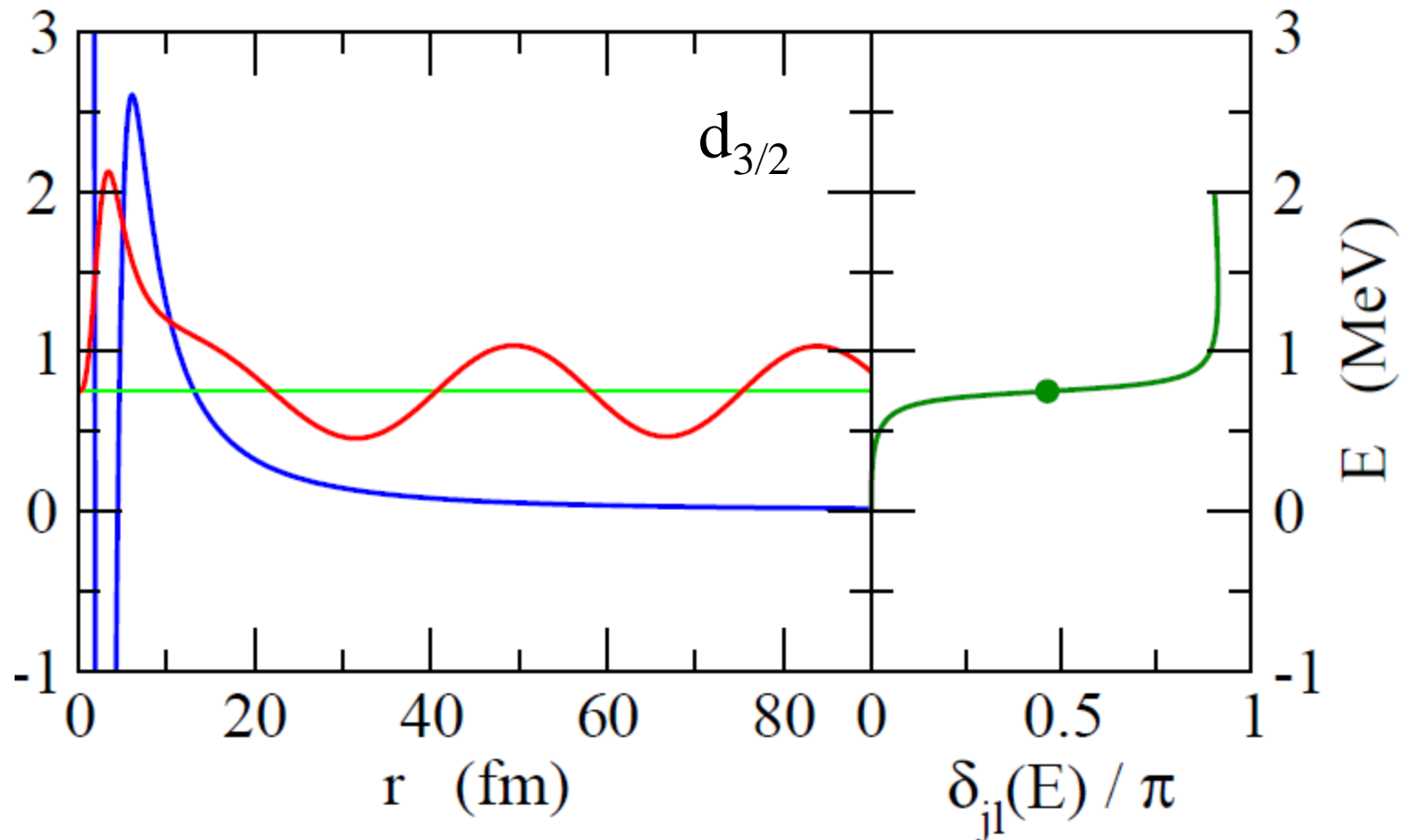
$$rR_{j_l}(r) \rightarrow \sqrt{\frac{2m}{\pi k \hbar^2}} \sin\left(kr - \frac{l\pi}{2} + \delta_{j_l}(E)\right); \quad \int dr \psi_E(r) \psi_{E'}^*(r) = \delta(E - E')$$

それでは波動関数は?



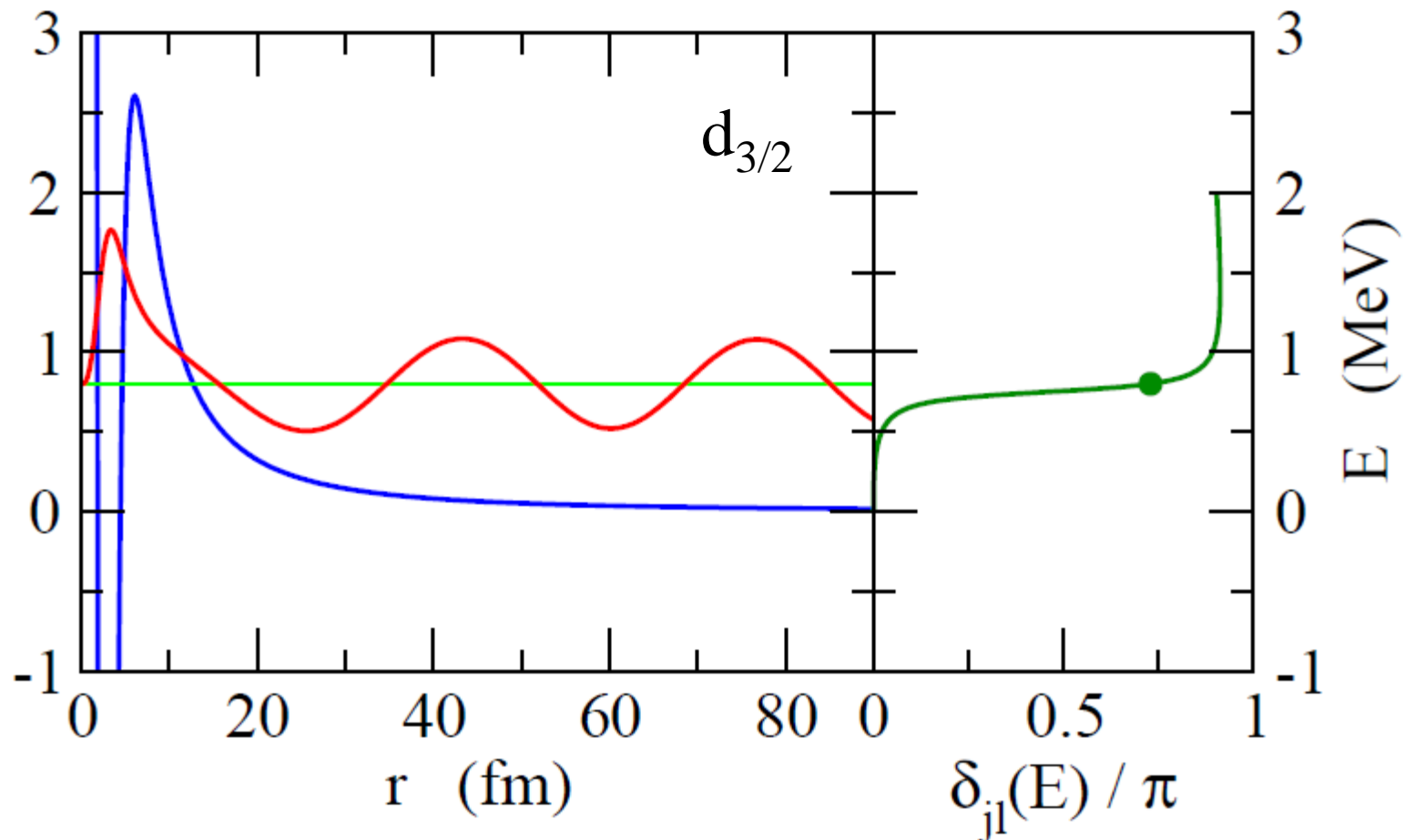
$$rR_{j,l}(r) \rightarrow \sqrt{\frac{2m}{\pi k \hbar^2}} \sin\left(kr - \frac{l\pi}{2} + \delta_{j,l}(E)\right); \quad \int dr \psi_E(r) \psi_{E'}^*(r) = \delta(E - E')$$

それでは波動関数は?



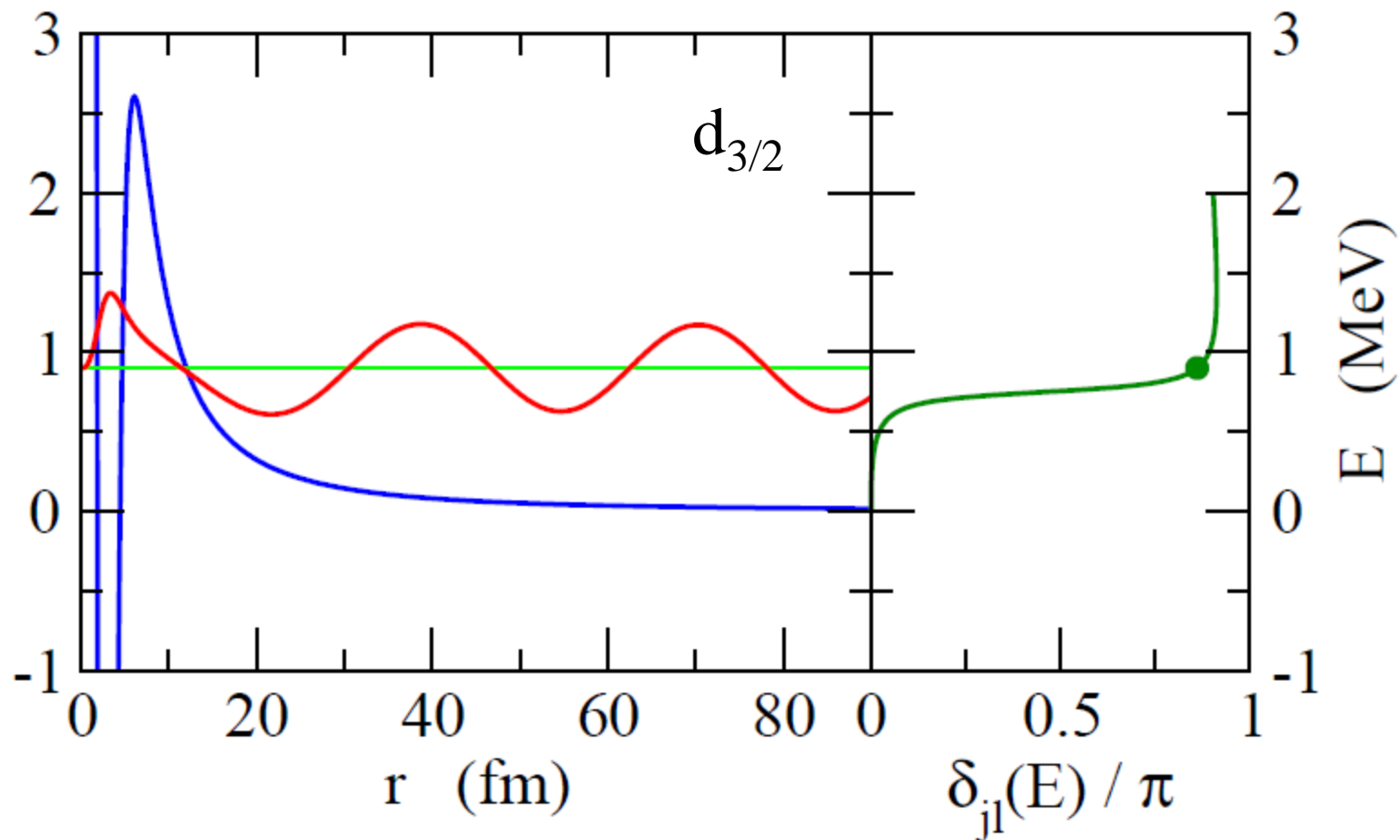
$$rR_{j,l}(r) \rightarrow \sqrt{\frac{2m}{\pi k \hbar^2}} \sin\left(kr - \frac{l\pi}{2} + \delta_{j,l}(E)\right); \quad \int dr \psi_E(r) \psi_{E'}^*(r) = \delta(E - E')$$

それでは波動関数は?



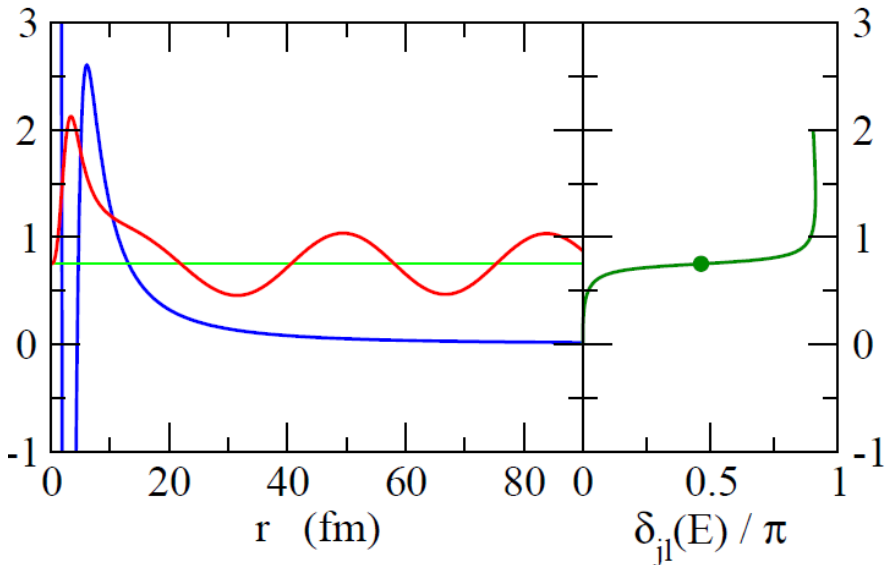
$$rR_{j,l}(r) \rightarrow \sqrt{\frac{2m}{\pi k \hbar^2}} \sin\left(kr - \frac{l\pi}{2} + \delta_{j,l}(E)\right); \quad \int dr \psi_E(r) \psi_{E'}^*(r) = \delta(E - E')$$

それでは波動関数は?



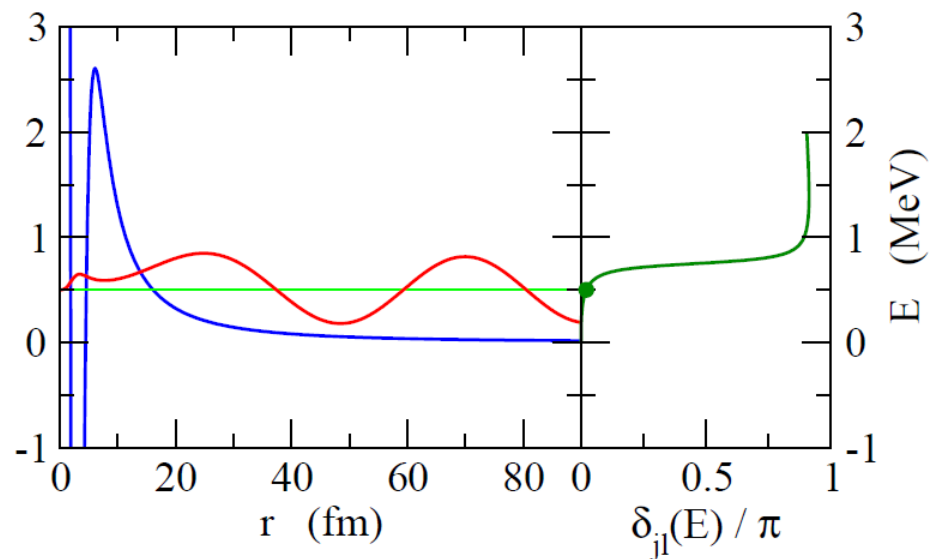
$$rR_{j_l}(r) \rightarrow \sqrt{\frac{2m}{\pi k \hbar^2}} \sin\left(kr - \frac{l\pi}{2} + \delta_{j_l}(E)\right); \quad \int dr \psi_E(r) \psi_{E'}^*(r) = \delta(E - E')$$

それでは波動関数は?



on-resonance:

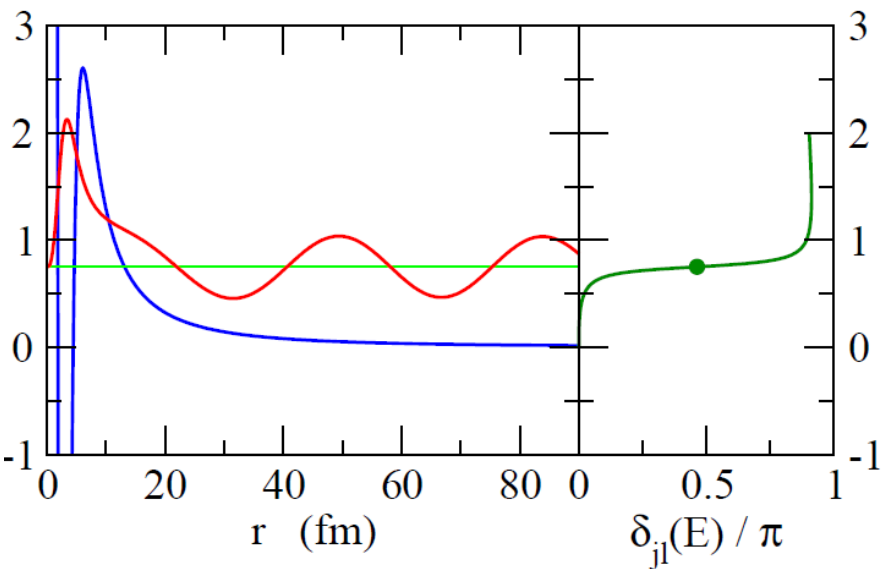
波動関数は障壁の内側で
大きな振幅



off-resonance:

障壁の内側では振幅が
小さい

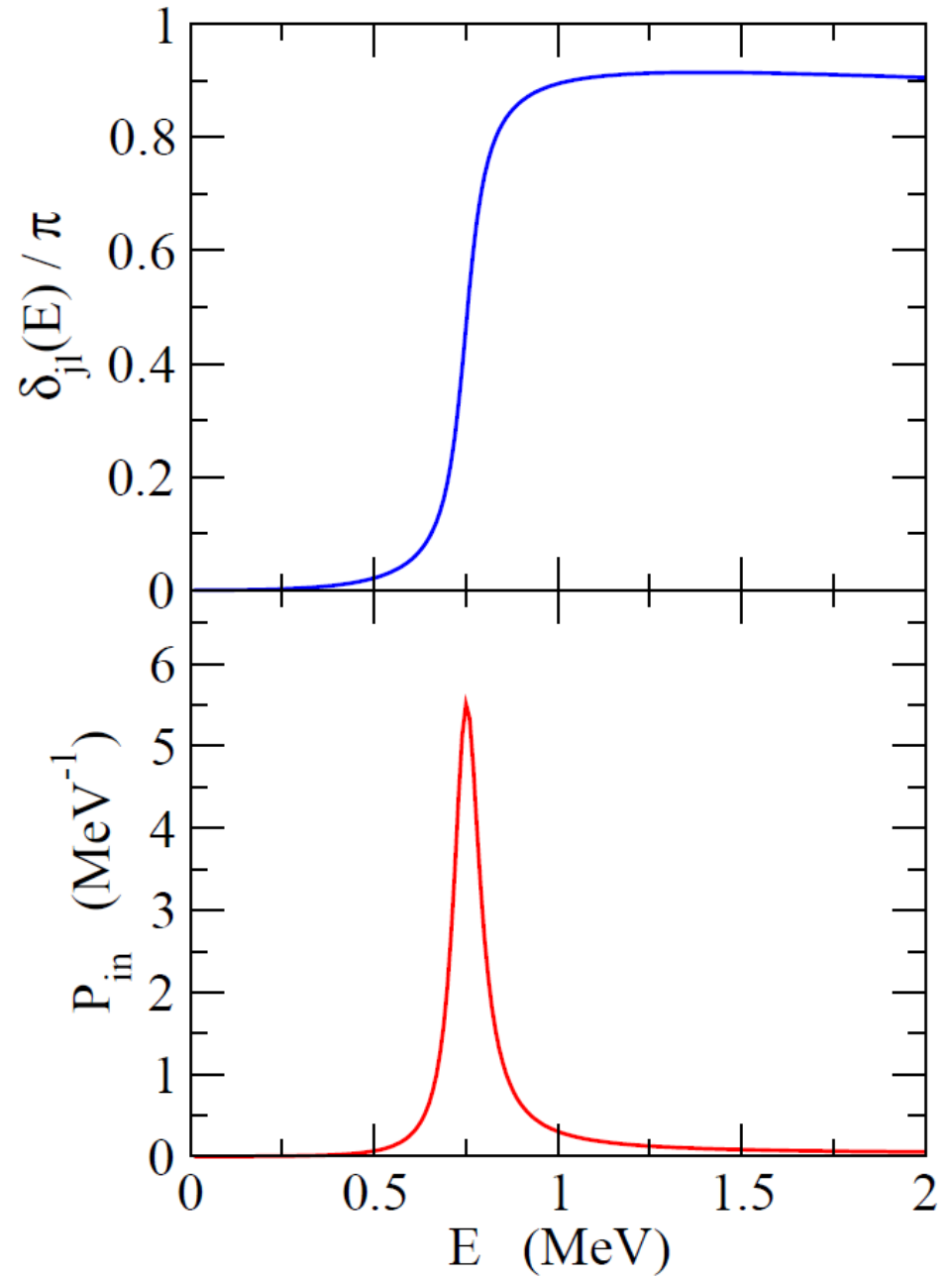
それでは波動関数は?



on-resonance:
波動関数は障壁の内側で
大きな振幅

障壁内部の存在確率

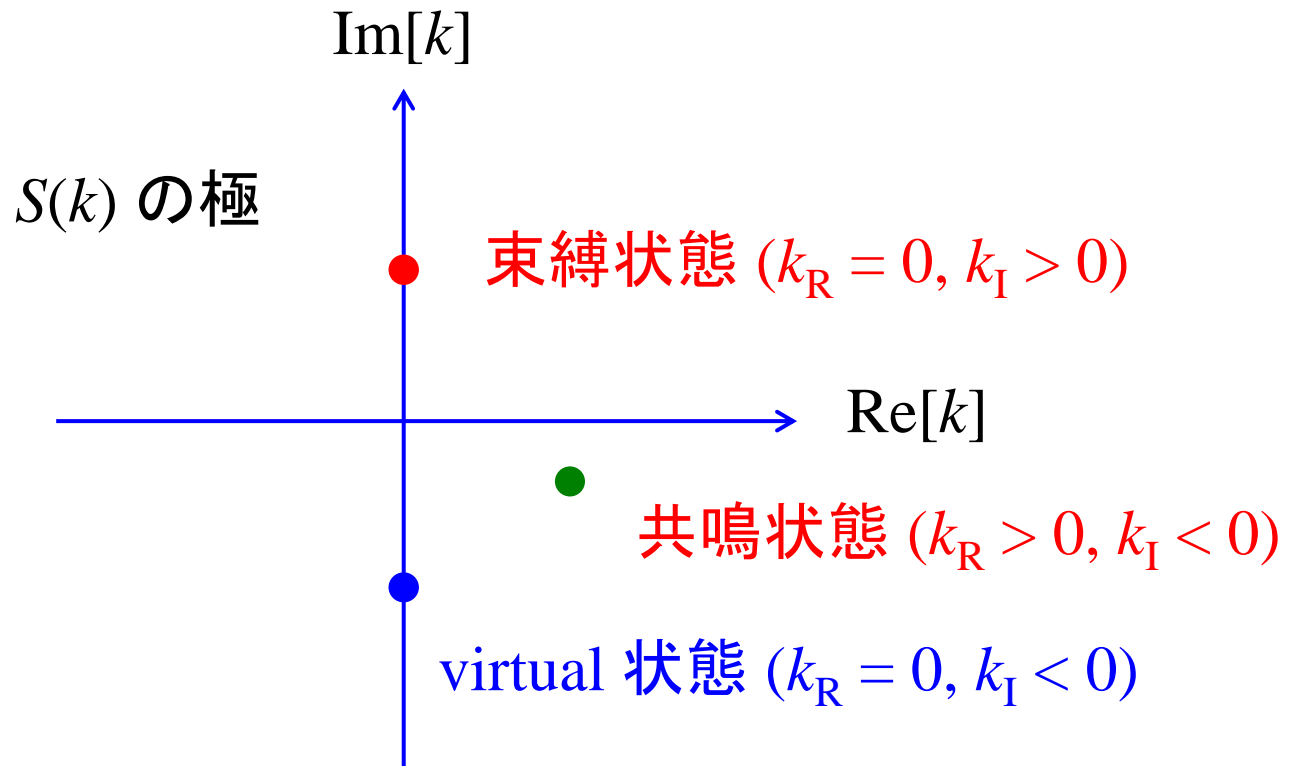
$$P_{in} \equiv \int_0^{r_b} r^2 dr |R_{jl}(r)|^2$$



散乱問題: 正の実数エネルギー (これが物理的な観測量)



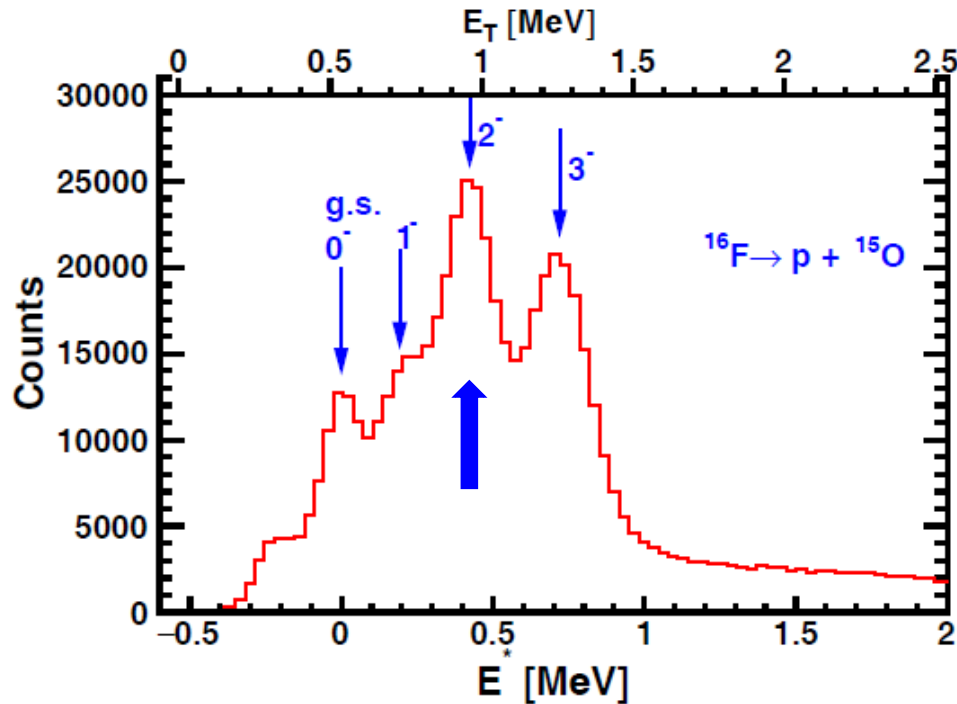
複素エネルギー (または複素運動量) 平面で実軸の近くの
S 行列の極



共鳴状態と弾性散乱(共鳴散乱)

陽子非束縛核 $^{16}_9\text{F}_7$

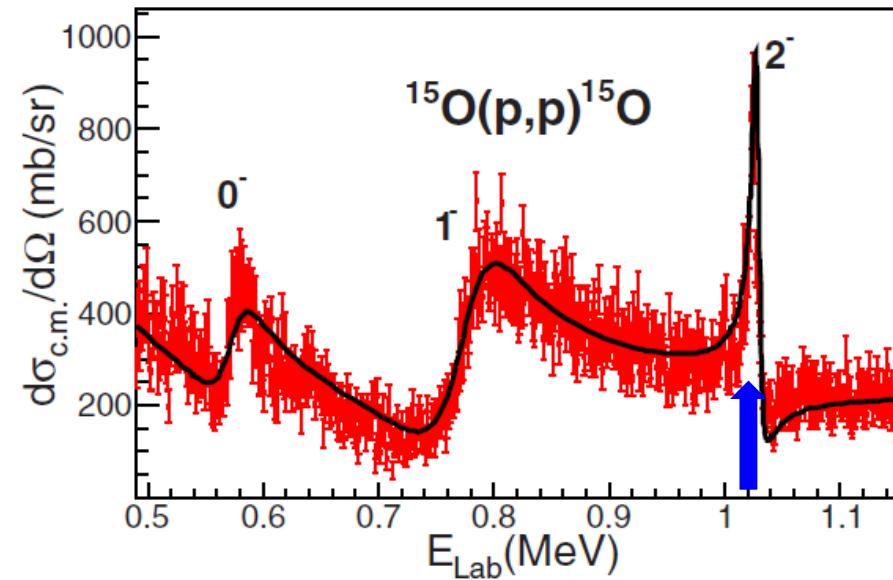
$^{17}_{10}\text{Ne}$ から1つ陽子を抜いて
 $^{16}_9\text{F}$ を生成 → 崩壊スペクトル



R.J. Charity,
Eur. Phys. J. Plus 131 ('16) 63

まず実際の現象から

$^{15}\text{O} + p$ 弾性散乱の断面積



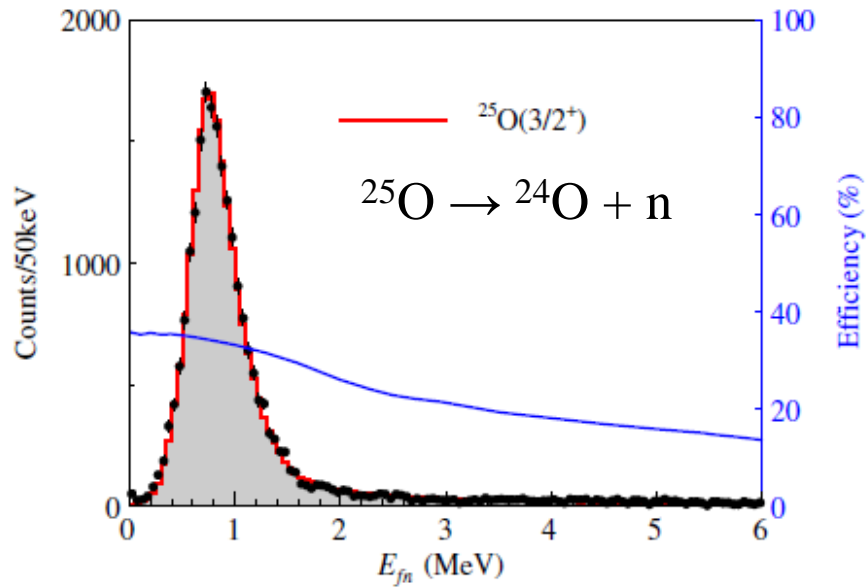
$\theta_{\text{cm}} = 180$ deg.

I. Stefan et al., PRC90('14) 014307

共鳴エネルギーで弾性散乱の断面積が増大(共鳴散乱)

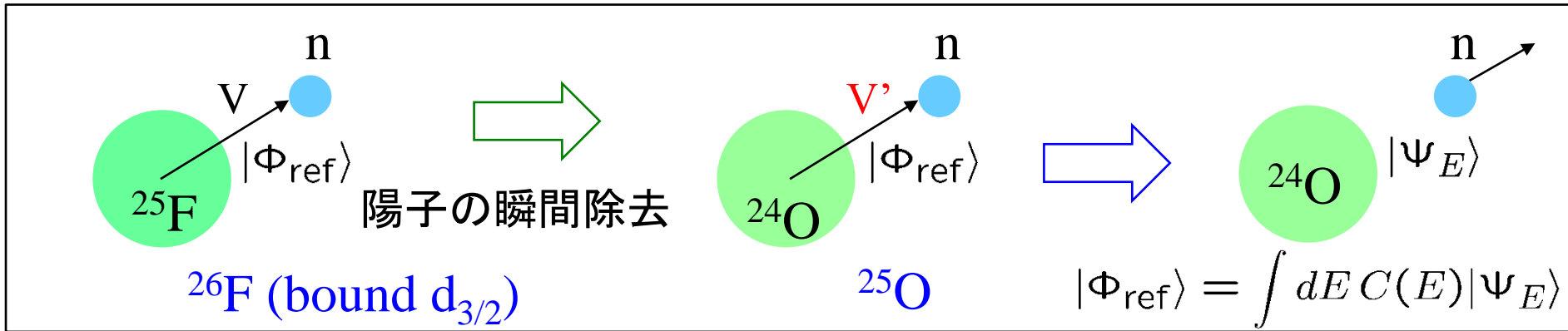
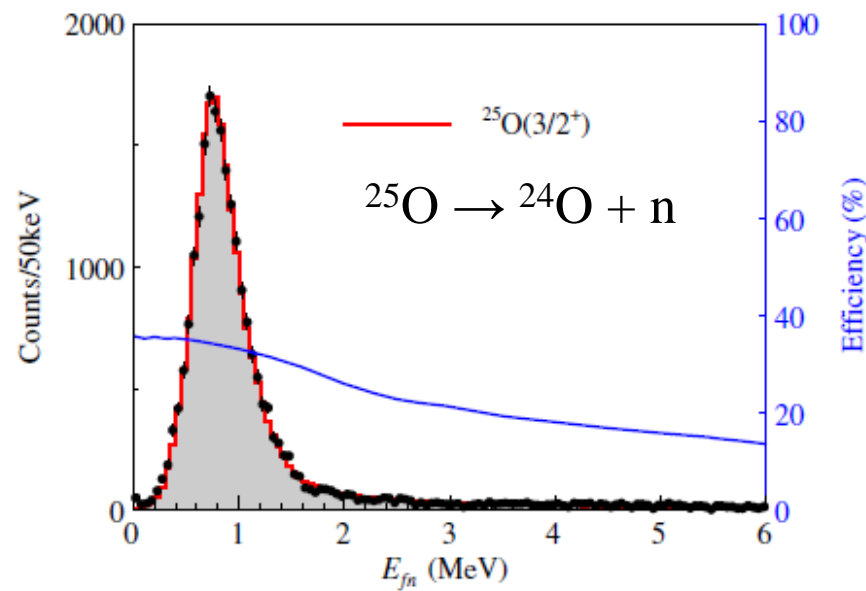
不変質量スペクトルの解析

$^{26}_9\text{F}_{17}$ から1つ陽子を抜いて $^{25}_8\text{O}_{17}$ を生成 → 1中性子を放出して崩壊



不変質量スペクトルの解析

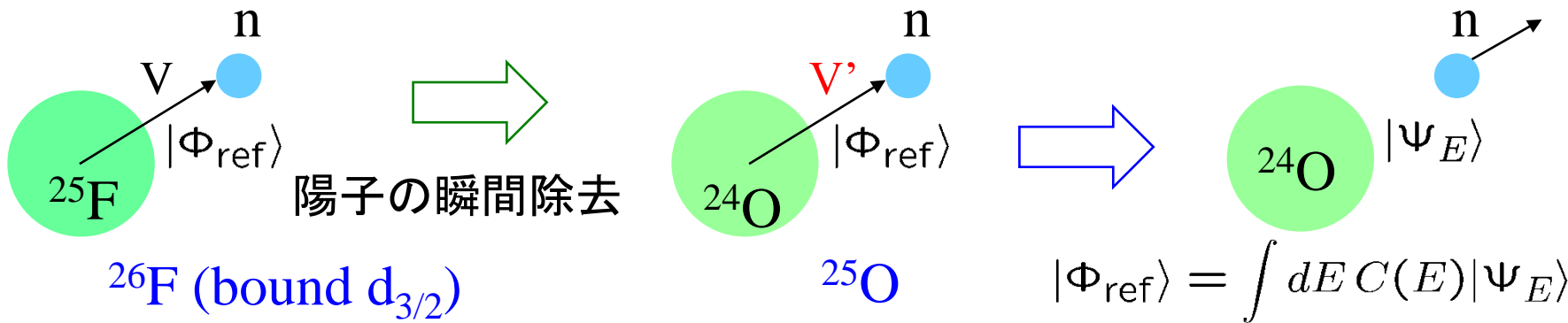
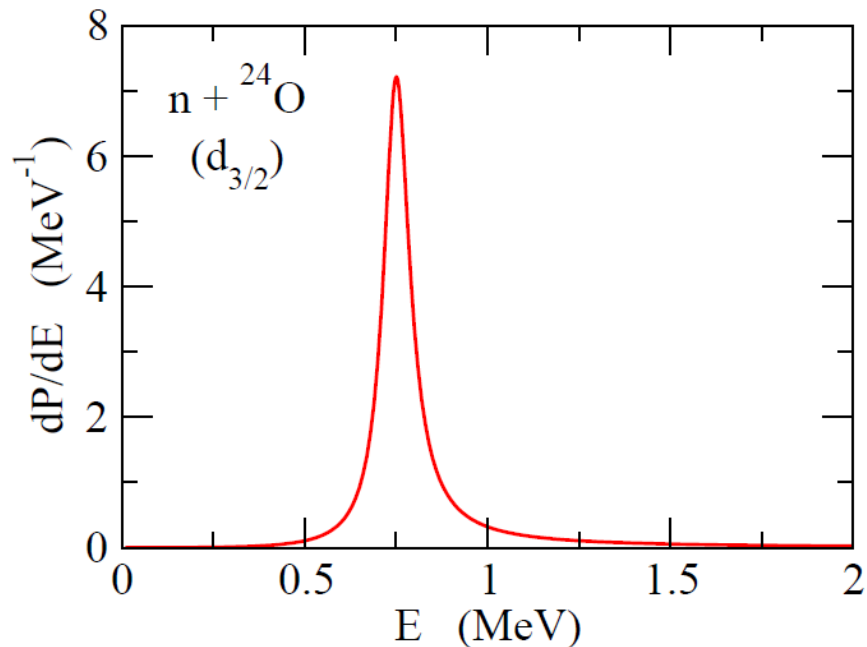
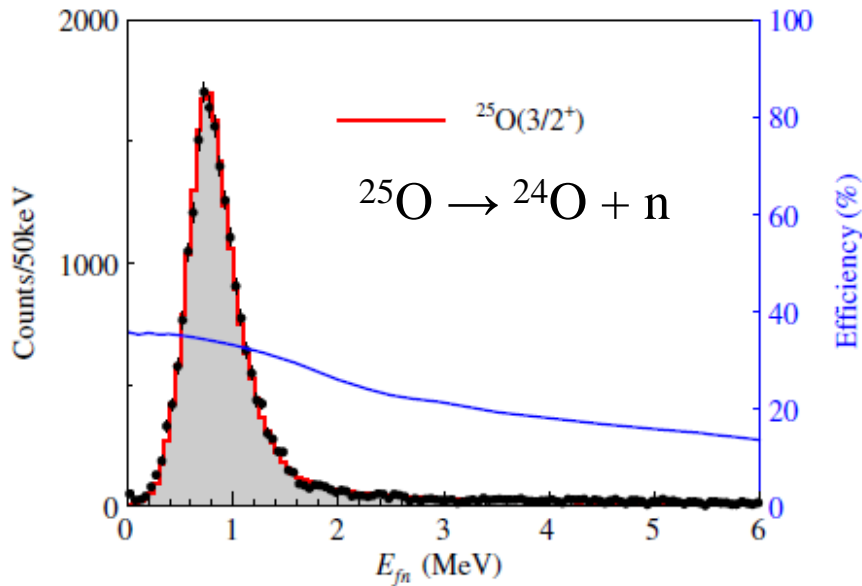
$^{26}_9\text{F}_{17}$ から1つ陽子を抜いて $^{25}_8\text{O}_{17}$ を生成 → 1中性子を放出して崩壊



不変質量スペクトルの解析

$^{26}_9\text{F}_{17}$ から1つ陽子を抜いて $^{25}_8\text{O}_{17}$ を生成 → 1中性子を放出して崩壊

$$\frac{dP}{dE} = |\langle \Phi_{\text{ref}} | \Psi_E \rangle|^2$$

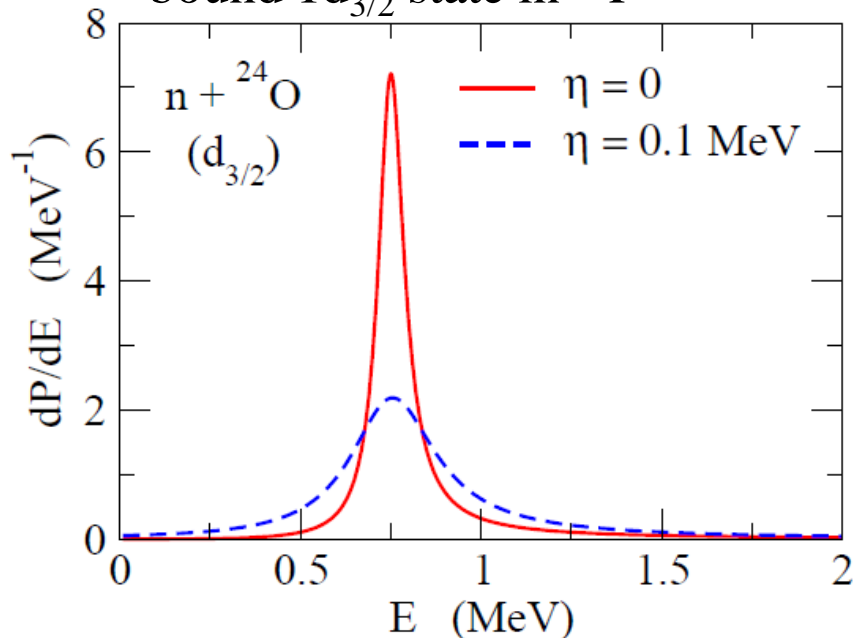


不変質量スペクトルの解析

$$\begin{aligned}\frac{dP}{dE} &= |\langle \Phi_{\text{ref}} | \Psi_E \rangle|^2 = \int dE' |\langle \Phi_{\text{ref}} | \Psi_{E'} \rangle|^2 \delta(E - E') \\ &\rightarrow \frac{1}{\pi} \text{Im} \int dE' |\langle \Phi_{\text{ref}} | \Psi_{E'} \rangle|^2 \underbrace{\frac{1}{E' - E - i\eta}}\end{aligned}$$

Reference state:

bound $1d_{3/2}$ state in ^{26}F



$$= 1 / (H - E - i\eta) = G(E)$$

$$\lim_{\eta \rightarrow 0} \frac{1}{x - i\eta} = P \frac{1}{x} + i\pi\delta(x)$$

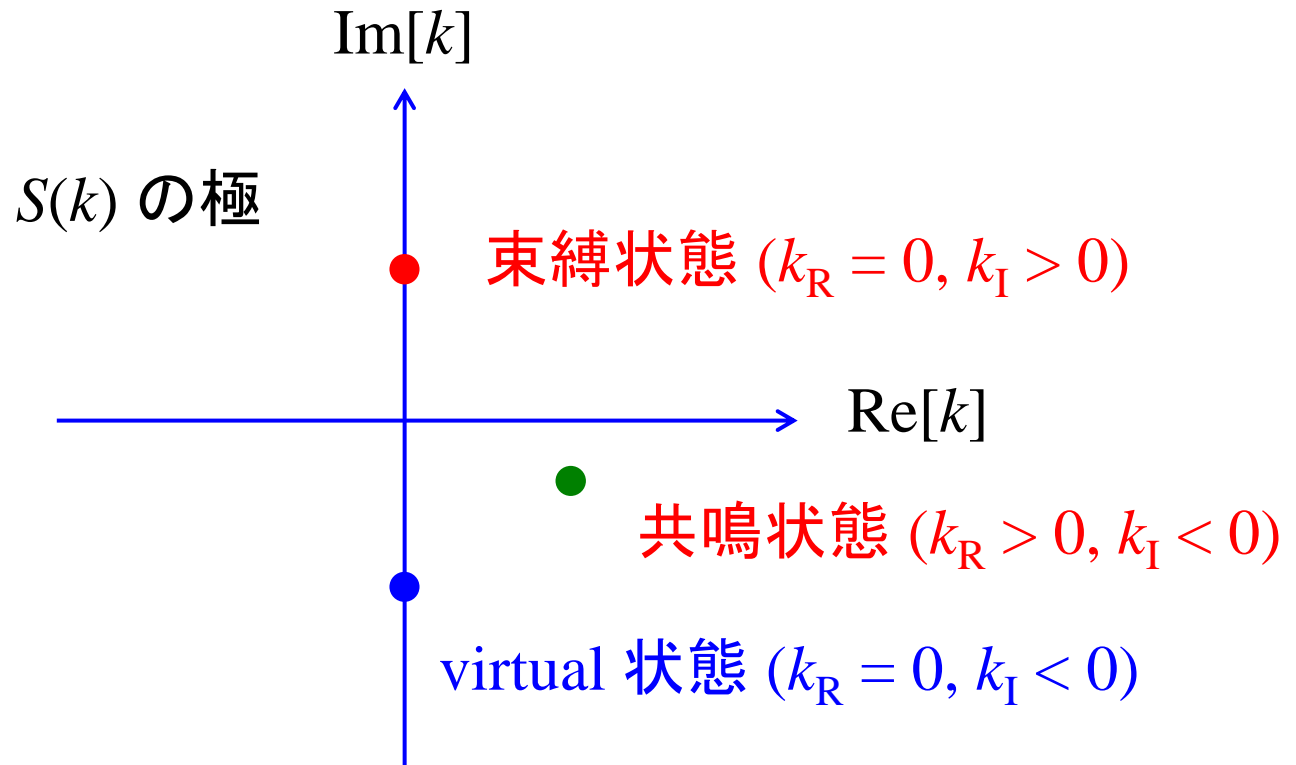
有限の η でも計算できる
(数値計算上便利)

virtual state について

散乱問題: 正の実数エネルギー (これが物理的な観測量)



複素エネルギー (または複素運動量) 平面で実軸の近くの
S 行列の極



virtual state について

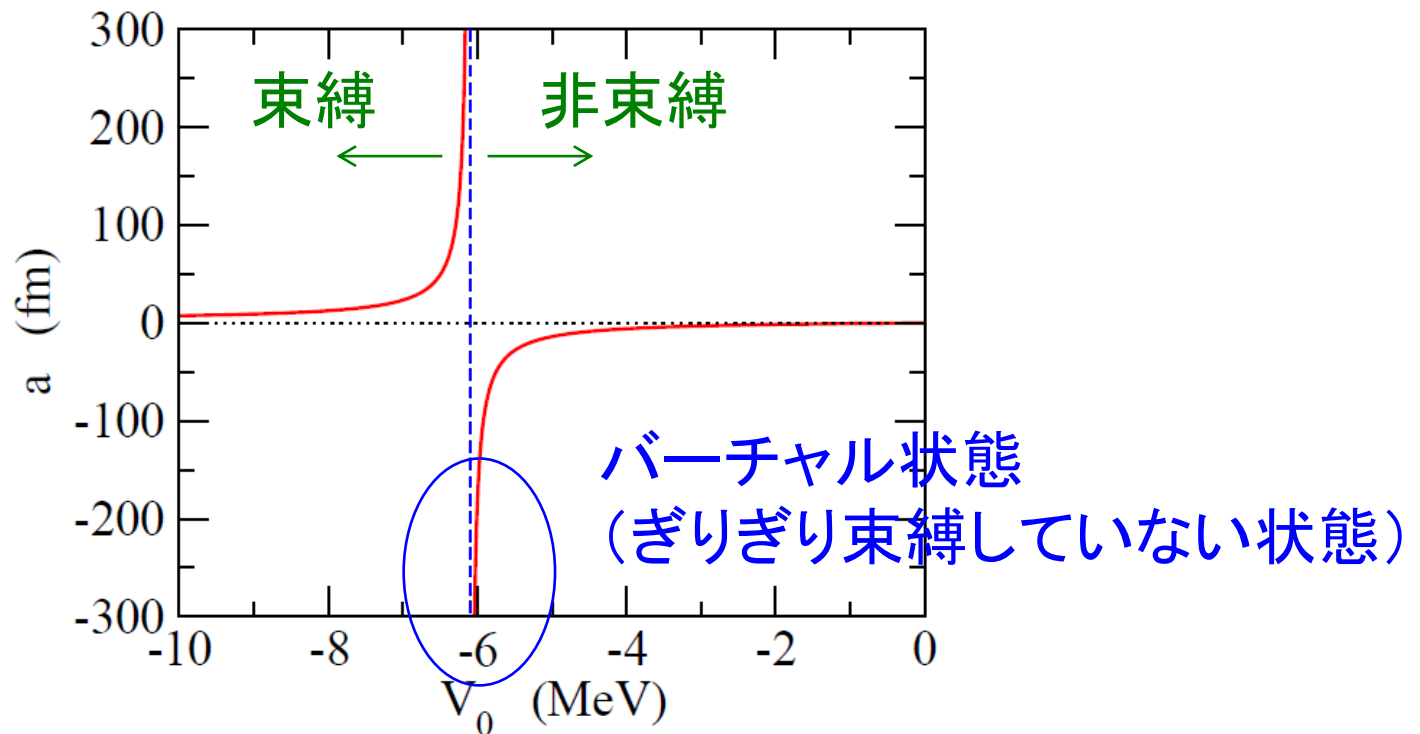
極低エネルギーでの散乱を考える(従って s-wave のみ)

effective range expansion:

$$k \cot \delta(k) \sim -\frac{1}{a} + \frac{1}{2}r_e k^2 + \dots$$

virtual state について

散乱長は $E = 0$ の束縛状態を作るときに正で発散



Woods-Saxon ポテンシャルで
ポテンシャルの深さを変える

($R = 2.736$ fm, $a_0 = 0.67$ fm)

散乱長の物理的意味

半径 R の井戸型ポテンシャル:

$$a = R \left(1 - \frac{\tan \kappa R}{\kappa R} \right)$$

$$\kappa = \sqrt{\frac{2mV_0}{\hbar^2}}$$

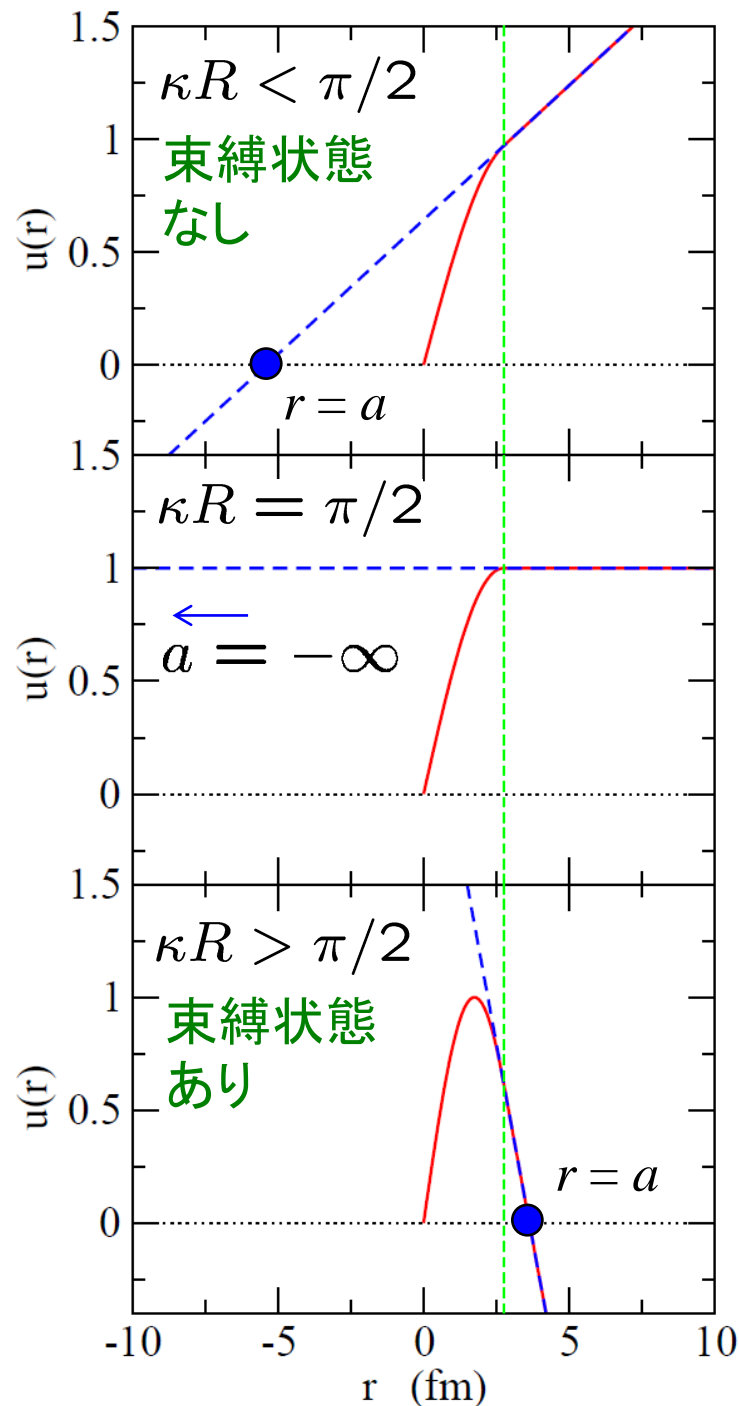
$$u(r) = A \sin(\kappa r) \quad (r < R)$$

↪

$$f(r) \equiv u(R) + u'(R)(r - R)$$

は $r = a$ で $f(a) = 0$ 。

すなわち、散乱長は $r = R$ で波動関数を一次近似したときに、その直線が x 軸を切る点。



virtual state について

極低エネルギーでの散乱を考える(従って s-wave のみ)

effective range expansion: $k \cot \delta(k) \sim -\frac{1}{a} + \frac{1}{2}r_e k^2 + \dots$

このとき、

$$\begin{aligned} S(k) &= \frac{e^{i\delta}}{e^{-i\delta}} = \frac{\cos \delta + i \sin \delta}{\cos \delta - i \sin \delta} \\ &= \frac{\cot \delta + i}{\cot \delta - i} \\ &\sim \frac{-1/a + ik}{-1/a - ik} \end{aligned}$$

極は $k = i \frac{1}{a}$

$a < 0$ なら virtual 状態、 $a > 0$ なら(浅い)束縛状態

virtual state について

極低エネルギーでの散乱を考える(従って s-wave のみ)

effective range expansion: $k \cot \delta(k) \sim -\frac{1}{a} + \frac{1}{2}r_e k^2 + \dots$

このとき、

$$S(k) \sim \frac{-1/a + ik}{-1/a - ik}$$

極は $k = i \frac{1}{a}$

極が実軸に近い $\longrightarrow |a|$ が大

このとき、弾性散乱の全断面積:

$$\sigma = \frac{4\pi}{k^2} \sin^2 \delta = \frac{4\pi}{(k \cot \delta)^2 + k^2} \sim 4\pi a^2 \quad : \text{large}$$